

زئولیت‌ها: روش‌های ساخت، کاربرد و چشم‌انداز آینده

مجید پاکیزه، فهیمه علیزاده

گروه مهندسی شیمی، دانشکده مهندسی، دانشگاه فردوسی مشهد

Pakizeh@um.ac.ir

چکیده: با در نظر گرفتن افزایش مقالات علمی و تحقیقات در زمینه ساخت و کاربرد زئولیت‌ها، می‌توان بی به اهمیت آنها برد. اگرچه اولین کاربرد صنعتی زئولیت در آب زدایی مخلوط پروپیانول و اتانول بود، ولی یک تمایل پیوسته و در حال افزایش به کاربرد آنها در موارد دیگر در کل جهان وجود دارد. در طی چند سال اخیر، پیشرفت‌های قابل توجهی در زمینه روش‌هایی در مراکز تحقیق و توسعه کشورها، مخصوصاً برای ارتقا انتخابگری شکلی زئولیت‌ها به منظور جداسازی اجزا مخلوط انجام شده و یا در حال انجام است. با در نظر گرفتن این موارد، پژوهش‌های متعددی در مراکز کنترل رشد کریستال زئولیت و موروف‌لوزی آنها داشته و به سرعت در حال پیشرفت است. زئولیت‌ها بدليل جداسازی مولکول‌ها براساس اندازه آنها، انتخابگری بالا، قدرت تعویض یونی مناسب، استحکام مکانیکی، مقاومت حرارتی و شیمیایی مطلوب، جایگاه ویژه‌ای را در غربال‌های مولکولی به خود اختصاص داده‌اند. علاوه بر موارد ذکر شده، وجود کریستال‌های نانو ساختاری در شبکه آنها و همچنین کاربرد زئولیت‌ها در فرایندهای جداسازی غشایی، اهمیت آنها را برای محققین دو چندان نموده است. با استفاده از فناوری نانو، می‌توان در ساخت زئولیت‌ها و یا بهبود کیفیت و عملکرد آنها گام اساسی برداشت. در این مقاله، پس از آشنایی اولیه با زئولیت‌ها و انواع آنها، مروری بر انواع روش‌های سنتز زئولیت‌ها، کاربرد و چشم‌انداز آینده آنها انجام گردیده است.

کلمات کلیدی: زئولیت، غربال مولکولی، غشا زئولیتی، نانوفناوری.

۱ - مقدمه

زئولیت‌ها در فرم طبیعی آنها برای اولین بار در قرن ۱۸ توسط کانی شناس سوئدی به نام اکسل فردیک کرونستد^۱، مشاهده شد. هنگامی که این ماده معدنی حرارت داده می‌شد، آب آن تبخیر شده و به نظر می‌رسید که در حال جوشیدن است. به همین دلیل نام این ماده از لغت یونانی زئو^۲ به معنای جوشیدن و لیتس^۳ به معنای سنگ، ابداع شده است [۱]. اگرچه زئولیت طبیعی از قرن‌ها قبل وجود داشته، زمینه علم و تکنولوزی زئولیت در سال ۱۹۵۰، به دنبال کشف روش‌هایی برای سنتز صنعتی زئولیت در مقیاس بزرگ (توسط اتصال کربنی)^۴ به سرعت ایجاد شد. ایده تولید صنعتی زئولیت از تحقیقات اولیه پروفسور بربر^۵ در مورد سنتز زئولیت و کاربرد جذب سطحی در سال‌های ۱۹۴۰-۱۹۳۰ سرچشمه گرفته است [۲].

زئولیت‌ها یک عضو از خانواده مواد کریستالی معدنی هستند. آنها کریستال‌های آلومیناسیلیکات میکرومتخلخلی^۶ می‌باشند، که از چهار وجهی AlO_4 و SiO_4 که توسط اتم اکسیژن (O) متصل می‌شوند، تشکیل شده است. برای یک ساختار کامل سیلیسی، ترکیب واحدهای SiO_4 ، گرایش به سمت تشکیل سیلیکا (SiO_2) دارند، که دارای چهار بار منفی می‌باشند. با مشارکت Al در ساختار سیلیکا با وجود سه بار مثبت Al کل ساختار دارای یک بار منفی می‌گردد و برای اینکه از لحاظ باری خنثی باشد نیازمند یک ساختار کاتیون

¹ Axel Fredrik Cronsted

² zeo

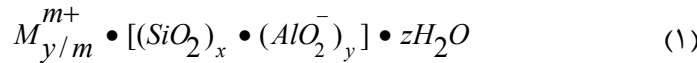
³ lithos

⁴ Union Carbide

⁵ microporous



(آلی یا معدنی) می‌باشد^[۲]. ترکیب شیمیایی زئولیت که تعین کننده خواص آن می‌باشد، را می‌توان به صورت ذیل بیان نمود:



همانطور که در فرمول شیمیایی (1) نشان داده شده است، M نشانگر کاتیون اضافه شده (یون قابل تعویض) با بار m می‌باشد. این کاتیون‌ها توسط پیوند الکترواستاتیکی به ساختار متصل شده و در شبکه کریستالی زئولیت سیار می‌باشند. y و x اعداد صحیح هستند و z تعداد مولکول‌های آب می‌باشد^[۳]. میزان Al موجود در ساختار زئولیت در محدوده وسیعی تغییر می‌کند. نسبت Al/Si از یک تا نهایت قابل تغییر است. این نسبت پارامتر مهمی برای زئولیت‌ها می‌باشد که نشان دهنده میزان کاتیون مورد نیاز در ساختار بوده و میزان اسیدیته هر واحد سلول را نشان می‌دهد. با افزایش نسبت Al/Si پایداری هیدروترمال^۱ و آب گریزی^۲ زئولیت افزایش می‌یابد و با در نظر گرفتن ویژگی‌های توضیح داده شده، زئولیت‌ها در کاربردهای صنعتی فراوانی توسعه یافته‌اند. طبیعت کریستالی ساختار زئولیت نشان می‌دهد که حفرات^۳ به طور یکنواخت در کریستال موجودند و می‌توانند به طور متمایز با ابعاد متفاوت مولکول‌ها عمل کنند. به همین دلیل به عنوان غربال مولکولی شناخته می‌شوند. زئولیت‌ها با استفاده از خاصیت غربال مولکولی و قدرت جذب سطحی خود می‌توانند بین مولکول‌ها تمایز قائل شده و فرایند جداسازی را با کارایی قابل توجهی انجام دهند^[۲].

زئولیت‌ها بطور عمده در چهار کاربرد اصلی: ۱- جذب سطحی: خاصیت جذب سطحی زئولیت‌ها به میدان الکتروستاتیکی موجود در آنها برمی‌گردد. اساس کاربرد این مواد به عنوان خشک کننده، جاذب بخارات آلی و معدنی و تعویض یونی در سختی زدایی آب در صنایع تولید شویندها می‌باشد. ۲- غشا: می‌توان به کاربرد زئولیت‌ها در غشاهای جداسازی مخلوط گازها و مایعات (مانند جداسازی ایزومرهای زایلن، دی اکسید کربن، هیدروژن، آب، الكل و...) اشاره نمود. ۳- کاتالیزور: نقش کاتالیزوری زئولیت‌ها به ساختار آنها وابسته است. در واقع وجود کanal‌هایی که از اتصال ساختارهای اولیه حاصل می‌گردد، اهمیت فراوانی در انتخابگری زئولیت‌ها دارد. ۴- سنسورهای شیمیایی و سایر: زئولیت‌ها در شیمی تجزیه نیز پتانسیل بالایی دارند. الکترودها با پوشش زئولیتی برای اهداف الکتروآنالیتیکی در محلول‌ها بکار می‌روند. جذب سطحی، حضور یون‌های سیار و فعالیت کاتالیستی زئولیت‌ها را برای کاربرد به عنوان سنسورهای گازی مستعد می‌سازد.

۲- انواع زئولیت‌ها

تحقیقات اخیر در مورد انواع زئولیت، نشان می‌دهد که بالغ بر ۱۷۰ گونه ساختار به صورت طبیعی و سنتز شده موجود است^[۴]. در نامگذاری زئولیت یک کد سه حرفی برای انواع ساختارهای تایید شده توسط کمیسون ساختار انجمن بین‌المللی زئولیت^۴ اختصاص یافته است. این کدها معمولاً از اسم زئولیت یا نوع ماده مشتق شده است. مثلاً FAU از ماده معدنی Socony Linde Type A، faujasite از ZSM-5 و LTA از Mobile Zeolite مشتق شده است^[۱].

ساختار زئولیت‌ها توسط واحدهای سازنده، چیدمان، اندازه و شکل هندسی حفرات تعیین می‌گردد. ساختار بدنها زئولیت می‌تواند با رشد منظم واحدهای ساختاری و بلوههای چهار وجهی (T= Si, Al) TO₄ سازنده ساخته شود.

در ساختار زئولیت‌ها پیوندهای Si-O-Si و Si-O-Al شبکه را تشکیل داده و چیدمان سه بعدی چهاروجهی‌های

¹ hydrothermal

² hydrophobic

³ pore

⁴ Structure Commission of International Zeolite Association

TO_4 که واحدهای سازنده پایه^۱ (BBU) نیز نامیده می‌شود، به روش‌های مختلف می‌تواند صورت پذیرد. در بعضی موارد زئولیتها از ترکیب واحدهای سازنده مرکب^۲ (CBU) و BBUها تشکیل می‌شود. این CBUها می‌توانند حلقه‌های تک یا زنجیره‌های تک^۳ باشند و یا ساختارهای پیچیده‌تر مانند زنجیره‌های شاخه‌دار یا ساختارهای چند وجهی را بسازند. برای اکثر زئولیتها اندازه حفره یکی از ویژگی‌های کلیدی بشمار می‌آید. محدوده دهانه کانال‌ها یا حفرات از $0/3$ تا 1nm است، بسته به ساختار زئولیت متغیر می‌باشد.^[۵]

زئولیتها به طور کلی به دو دسته اصلی زئولیتهاز طبیعی و مصنوعی تقسیم‌بندی می‌شوند.

۱-۱- زئولیتهاز طبیعی

حدود ۴۰ نوع زئولیت در طبیعت شناخته شده است، که تعدادی از آنها از اهمیت صنعتی برخوردارند. زئولیتهاز طبیعی نتیجه غیرمستقیم فعالیتهای آتشفشاری بوده و از طریق دگرگونی هیدروترمال بازالت، خاکستر آتشفشاری و سنگ پا تشکیل می‌شوند. اکثر زئولیتهاز طبیعی شناخته شده دارای نسبت کم Si/Al می‌باشند. گاهی اوقات زئولیتهاز طبیعی در تک کریستال‌های بزرگ یافت می‌شوند. این در حالی است که ساختن کریستال‌های بزرگ بطور آزمایشگاهی تقریباً غیرممکن است.

زئولیتهاز با تخلخل زیاد مانند FAU، که نمونه مصنوعی آن X و Z می‌باشد، در طبیعت بسیار کمیاب هستند. دو نوع زئولیتهاز طبیعی با ارزش کلینوپیتیولیت^۴ (HEU) و موردنیت^۵ (MOR) برای تعویض یونی رادیواکتیو، کاربردهای کشاورزی و جاذب استفاده می‌شوند. فعالیت کاتالیستی زئولیتهاز طبیعی به دلیل خلوص و سطح تماس کم آنها محدود می‌باشد. یکی دیگر از زئولیتهاز طبیعی اریونیت^۶ (ERI) نام دارد که سمیت قابل مقایسه و یا حتی بیشتر از پنبه‌های نسوز، به خصوص در ایجاد بیماری سرطان ریه دارد.^[۲]

۱-۲- زئولیتهاز مصنوعی

زئولیتهاز مصنوعی در مقایسه با زئولیتهاز طبیعی از خلوص بالایی برخوردار بوده و دارای دامنه کاربرد وسیع‌تری می‌باشند. محققین پیش از سال ۱۹۵۰ جهت تولید زئولیتهاز، در صدد ساخت ژئوکانی‌های طبیعی شناخته شده بودند و تصور می‌کردند که تشکیل زئولیتهاز مستلزم درجه حرارتی در حدود ۲۰۰ تا ۴۰۰ درجه سانتیگراد و دهها اتمسفر فشار می‌باشد. ولی در سال ۱۹۵۷ شیمیدانان موفق شدند زئولیتهاز را در دمای پایین ($<100^\circ\text{C}$) در مقیاس صنعتی تهیه نمایند.^[۶]

از لحاظ مقدار منبع Si و مقدار نسبت Al/Si زئولیتهاز به سه دسته: ۱- زئولیتهاز با مقدار کم سیلیکا^۷ (مانند زئولیتهاز X و A که برک و میلتون^۸ کشف آنها را در ۱۹۵۹ گزارش کرده‌اند. زئولیتهاز A و X بیشترین میزان کاتیون را دارند و قابلیت تعویض یونی عالی دارند)، ۲- زئولیتهاز با مقدار متوسط سیلیکا^۹ (برک سنتز زئولیت Z را در سال ۱۹۶۴ گزارش کرده است، که نسبت Al/Si آن در محدوده $1/5-3/8$ می‌باشد. کاهش میزان Al منجر به پایداری حرارتی و اسیدی می‌شود)، ۳- زئولیتهاز با مقدار زیاد سیلیکا^{۱۰} (زئولیتهازی با نسبت Al/Si بین $10-100$ (یا بیشتر)، با بهترین مثال ZSM-5 اگرچه میزان Al کم می‌باشد، اما اسیدیتیه این زئولیتها برای واکنش‌های کاتالیستی هیدروکربنی مناسب می‌باشد). تقسیم‌بندی می‌شوند.^[۱]

¹ Basic Building Unit

² Composite Building Unit

³ Chain

⁴ Clinoptilolite

⁵ mordenite

⁶ erionite

⁷ Low-silica

⁸ Milton & Breck

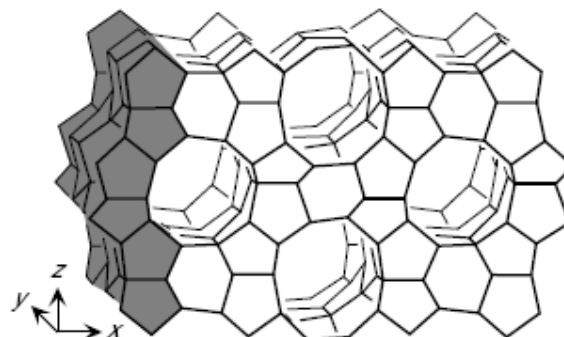
⁹ Intermediate-Silica

¹⁰ High-Silica

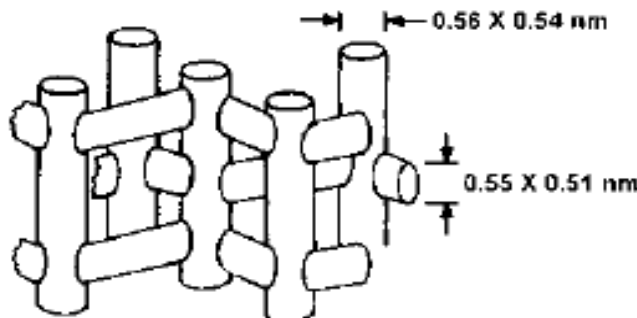
از مهم‌ترین و پرکاربردترین زئولیت‌های مصنوعی می‌توان به CHA، MFI، MEL، FER، MOR، FAU، LTA و AFI اشاره نمود، که زئولیت MFI بدلیل اهمیت کاربرد صنعتی اش در بخش زیر توضیح داده می‌شود.

۱-۲-۲- زئولیت MFI

زئولیت MFI در سال ۱۹۷۰ توسط شرکت تحقیقاتی موبایل^۱ کشف شد [۲۶]. استفاده از زئولیت MFI (ZSM-5) و سیلیکات) در فرایندهای جداسازی گازها و مایعات، فرایندهای غشایی و کاتالیستی گزارش شده است [۷-۱۵]. این زئولیت با مقدار زیاد سیلیکا در بیش از ۵۰ فرایند به عنوان جزء اصلی کاتالیست استفاده می‌شود. این زئولیت بعد از زئولیت ۲، پرکاربردترین زئولیت کاتالیستی می‌باشد. غشاها MFI (ZSM-5) و سیلیکات) در میان غشاها به دلیل پایداری حرارتی، شیمیایی و مکانیکی بالا، ویژگی آب گریزی، عمر دراز مدت، و ظرفیت جذب سطحی بالا بسیار مورد توجه می‌باشد. مقالات بسیاری برای سنتز آنها بر روی انواع پایه‌های متخلخل، و اثر دما و فشار بر روی سنتز آنها ارائه شده است [۲۸-۱۶]. این زئولیت از حلقه‌های ۵ عضوی تشکیل شده و همانگونه که در شکل (۱) نشان داده شده، به یکدیگر متصل می‌شوند. این ساختار کاملاً انعطاف‌پذیر بوده و تقارن دقیق کریستالوگرافی آن به ترکیب، دما، و مولکول‌های جذب شده بستگی دارد [۳]. زئولیت MFI از دو نوع کanal مختلف با روزنه حلقوی ۱۰ عضوی تشکیل شده است. یک کanal مستقیم با دهانه دایره‌ای با قطر ۵۴ nm و یک کanal سینوسی با دهانه بیضوی با قطر ۵۱×۵۵ nm (شکل ۲) [۱۷، ۱]. در شکل (۳) هندسه تقاطع کanal‌ها نیز نشان داده شده است. این زئولیت با نسبت متغیر Si/Al از ۵ تا بی‌نهایت قابل تهیه می‌باشد. با افزایش میزان Al ویژگی آب دوستی^۲ در MFI افزایش می‌یابد. سیلیکات (فرم سیلیسی خالص) آلی دوست بوده و دارای پایداری حرارتی بالایی می‌باشد. زئولیت MFI ظرفیت بالایی در جذب دی‌اکسیدکربن در مخلوط‌های مختلف گازی حتی با وجود بخار آب دارد [۱۵، ۱۸].



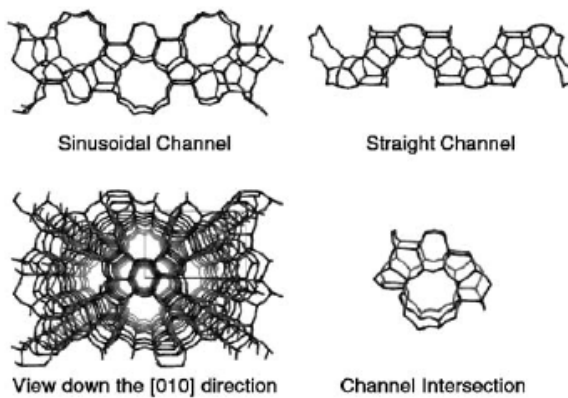
شکل ۱- ساختار بدنی MFI



شکل ۲- ساختار کanalی زئولیت MFI [۳]

¹ Mobile research

² hydrophilic



شکل ۳- ساختار اسکلتی زئولیت MFI(ZSM-5) نشان دهنده حفرات سینوسی و مستقیم و تقاطع آنها. یک نما از ساختار کامل در گوش پایین سمت چپ [3].

۳- ویژگی‌های زئولیت

پایداری حرارتی زئولیت در محدوده وسیعی از دما تغییر می‌کند. وجود سیلیکا در ساختار زئولیت باعث افزایش پایداری حرارتی آن می‌گردد. دمای تجزیه برای زئولیت‌های با مقدار کم سیلیکا 700°C می‌باشد، در حالی زئولیت سیلیسی کامل (سیلیکات) تا دمای 1300°C پایدار می‌باشد. زئولیت‌ها با مقدار کم سیلیکا در اسید ناپایدار بوده در حالی که زئولیت با مقدار زیاد سیلیکا در اسیدهای معدنی در حال جوش پایدارند، ولی در محلول‌های بازی پایداری چندانی از خود نشان نمی‌دهد. زئولیت‌های با مقدار کم سیلیکا تمایل به ساختارهای حلقه‌های ۴، ۶ و ۸ عضوی دارند، در حالی که زئولیت‌های سیلیسی دارای حلقه‌های ۵ عضوی می‌باشند. زئولیت‌ها با مقدار کم سیلیکا آب دوست بوده، در حالی که زئولیت‌های با مقدار زیاد سیلیکا آب گریزند و این انتقال در خاصیت آب گریزی در نسبت Si/Al حدود ۱۰ اتفاق می‌افتد.

مشخصات غلظت کاتیون، جاگیری و انتخابگری تعویض^۱ با نسبت Si/Al تغییر می‌کند و نقش مهمی در کاربردهای جذب سطحی، کاتالیز و تعویض یونی دارد. قدرت اسیدیته و ضریب فعالیت پروتون با کاهش میزان آلومینیوم، افزایش می‌یابد. سطح ویژه زئولیت حدود $300-700 \text{ m}^2/\text{g}$ می‌باشد.

روش مرسوم برای تعیین ساختار زئولیت و همچنین میزان خلوص آن استفاده از انکسار اشعه X می‌باشد. SEM^۲ نیز یک روش برای تعیین اندازه و مورفولوژی کریستال‌های زئولیت می‌باشد. با طیف نگاری مادون قرمز از طریق فرکانس پیوندهای حساس ساختار، اطلاعاتی راجع به خواص ساختار و نسبت Si/Al حاصل می‌گردد [۲].

۴- غشاهای زئولیتی

غشاهای زئولیتی از دو بخش لایه متراکم^۳ و پایه متخلخل^۴ تشکیل شده است. پایه متخلخل باعث استحکام مکانیکی غشا می‌گردد. به همین دلیل فیلم زئولیت می‌تواند نازک‌تر بوده و مقاومت کمتری در برابر انتقال جرم در فرایندهای غشایی داشته باشد. پایه‌های متخلخلی که عمدتاً به کار می‌رود، سرامیکی و فلزی هستند و لایه رویی غشاها از جنس زئولیت است [۲۹]. اولین پننت^۵ برای تهیه غشای زئولیتی توسط سوزوکی^۶ در

¹ exchange selectivity

² Scanning electron microscopy

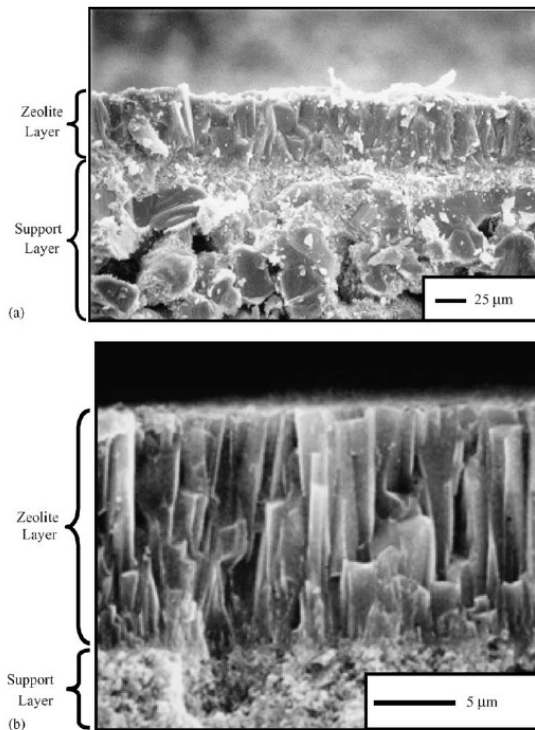
³ Dense

⁴ porous support

⁵ patent

⁶ Suzuki

سال ۱۹۸۷ گزارش شده است^[۱۷]. غشاهاي زئوليتى می توانند بر روی پایه های متخلخل آلومینا^۱ (a یا b)، استیل ضدزنگ^۲، مواد کربنی^[۳۰]، و شیشه های متخلخل سنتز گردد. نوع پایه بر روی فاکتور جداسازی بسیار اثرگذار می باشد. قطر حفره پایه های آلومینا بین ۵nm (۷-آلومینا) و ۲۰۰nm (۵-آلومینا) می باشد، و قطر حفره استیل ضدزنگ بین ۵µm/۴۰-۴۰ می باشد. شکل (۴-a) یک عکس SEM (قطع عرضی) از یک لایه زئولیت بر روی پایه متخلخل را نشان می دهد. از این نما، فقط کریستال های زئولیت بر روی سطح بالای پایه دیده می شود، اما کریستال های زئولیت نیز در حفرات پایه موجود می باشند. کریستال های بذردار گاهی اوقات به پایه اولیه اضافه می شوند تا شرایط کریستالیزاسیون و رشد زئولیت را فراهم نماید و کنترل رشد کریستال را بهبود بخشد (شکل ۴-b) [۲۹].



شکل ۴- عکس SEM (قطع عرضی) از یک غشا زئولیت غیر جهت دار B-ZSM-5 بر روی پایه متخلخل α -آلومینا با پوشش SiC (a)، و یک غشا جهت دار سیلیکات-۱ بر روی پایه متخلخل α -آلومینا با پوشش سیلیکا (b) [۲۹].

۵- سنتز زئولیت

گوناگونی ساختار در زئولیت ها بسیار زیاد می باشد. بنابراین، شرایط سنتز برای اینکه چه ساختاری حاصل گردد، بسیار تعیین کننده است^[۳۱]. سنتز زئولیت اصولاً بر اساس دو روش، که در ادامه توضیح داده شده است، انجام می شود.

۵-۱- سنتز فاز مایع^۳ (فرایند هیدروترمال)

در اکثر مقالات علمی زئولیت ها با روش سنتز هیدروترمال تهیه می شوند. سنتز هیدروترمال شامل دو روش:

۱- سنتز در محل^۴ و ۲- روش رشد بذر دار^۵ می باشد[۳۲]. در روش اول سنتز هیدروترمال شامل

¹ Alumina

² Stainless Steel

³ Liquid phase synthesis

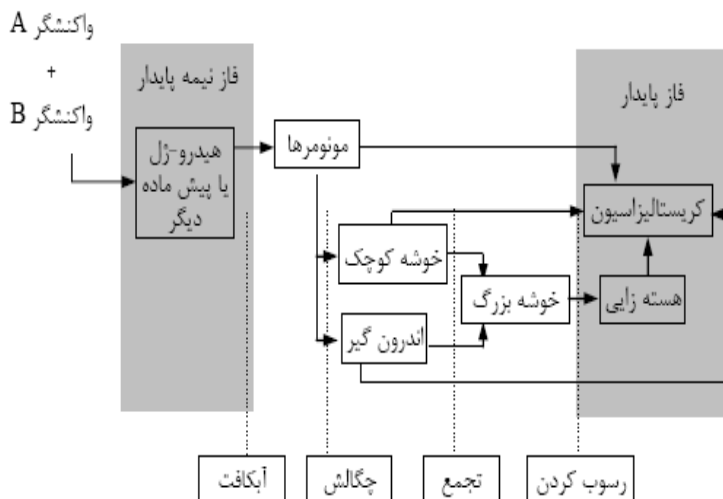
⁴ in-situ

⁵ seeded grown



کریستالیزاسیون یک لایه زئولیت بر روی پایه متخلخل می‌باشد. این کریستالیزاسیون از ژلی که معمولاً شامل ترکیب آب، سیلیکاًی بی شکل، یک منبع برای اتم‌های ساختاری چهاروجهی به جز Si، یک عامل هدایت ساختاری (SDA¹) یا قالب² آلی، و گاهی اوقات یک عامل معدنی ساز مانند NaOH است، صورت می‌پذیرد. این ژل در تماس با پایه در یک اتوکلاو قرار می‌گیرد. بسته به نوع زئولیت زمان، دما، و ترکیب ژل کریستالیزاسیون متفاوت است. به عنوان نمونه، می‌توان دمای ۱۸۰°C برای MFI و دمای ۹۰–۱۰۰°C برای تولید LTA یا FAU را ذکر نمود. همچنین نقش کاتیون‌های فلزی موجود در ساختار مهم می‌باشد. در کریستالیزاسیون در محل، کریستال‌های زئولیت بر روی سطح پایه هسته‌زایی و رشد می‌کنند. اما در بعضی موارد کریستال‌ها در توده محلول هسته‌زایی کرده، که مطلوب نمی‌باشد. این اتفاق بیشتر در ژل‌های رقیق رخ می‌دهد. با پیشرفت تکنیک‌های سنتز تولید زئولیت‌ها بدون مولکول قالب آلی صورت می‌پذیرد. زئولیت‌های نوع A معمولاً با همین روش تولید می‌شوند. استفاده از کریستال‌های بذردار به کریستالیزاسیون دو مرحله‌ای مربوط می‌شود. این تکنیک برای تهیه زئولیت‌های جهت‌دار³ نیز استفاده می‌شود. در این روش با همتراز کردن حفرات در جهت مورد نیاز، شار افزایش می‌یابد^[۲۹]. حفرات معیوب بوجود آمده درون کریستالی یا همان حفرات غیر زئولیتی باعث کاهش کیفیت و انتخابگری زئولیت می‌گردد. برای رفع این عیب تاکنون تلاش‌های زیادی صورت گرفته است و همچنان ادامه دارد^[۳۰، ۳۲، ۳۳].

شمایتیکی از مراحل سنتز هیدروترمال زئولیت در شکل (۵) نشان داده شده است.



شکل ۵- شماتیکی از فرایند کریستالیزاسیون زئولیت [۲]

۵-۲- انتقال فاز گاز^۴ (ژل خشک)

در روش انتقال فاز گاز یک ماده اولیه خشک^۵ که شامل SDA می‌باشد را بر روی سطح پایه توسط یک بخار اشباع تهشیین می‌کنند. در این روش ضخامت غشا توسط مقدار ماده اولیه به خوبی کنترل می‌شود، اگرچه کریستال‌های تولید شده به صورت تصادفی گسترش می‌یابند^[۳۴].

پارامترهای متفاوتی از جمله: ترکیب محلول اولیه، pH، دما، زمان، و برخی فاکتورها مانند شرایط ماندگی و شدت همزدن و حتی مرتبه مخلوط شدن، نوع زئولیت را تعیین می‌کند. برای آشنایی دقیق‌تر با نحوه اثرگذاری این پارامترها می‌توانید به مراجع [۱۳، ۲۰، ۳۱] مراجعه نمایید.

¹ Structure-Directing Agent

² template

³ oriented

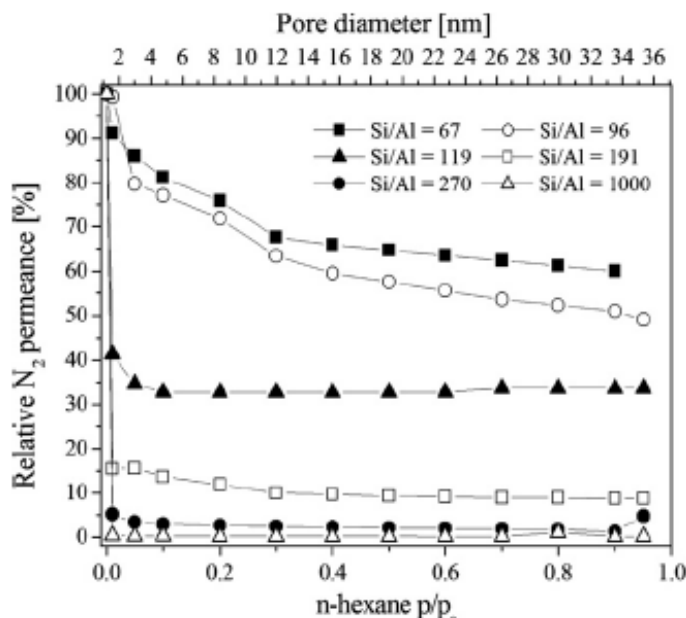
⁴ Vapor phase transportation

⁵ dry precursor

۶- روش‌های نوین سنتز

۶-۱- رشد درونی مواد محافظه^۱ (ISS)

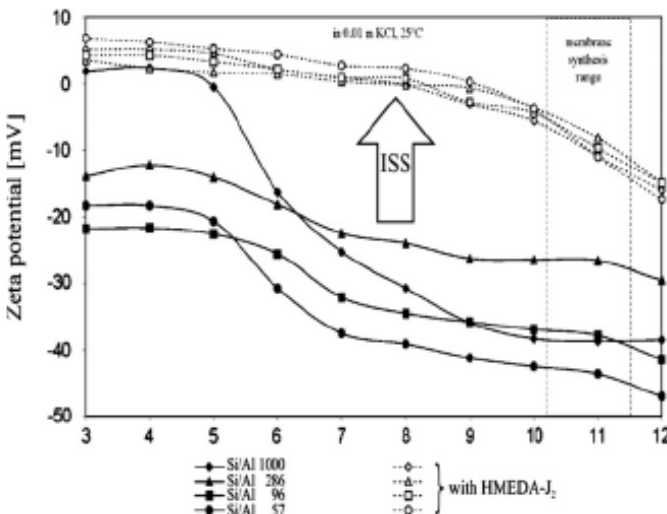
با توجه به مطالعات بر روی تراوش‌پذیری سری‌های غشاوی MFI با میزان Al متفاوت، انتقال نقص درون کریستالی به میزان Al مربوط می‌شود (شکل ۶) [۳۴]. کریستالیزاسیون لایه‌های باریک بدون نقص MFI شامل Al، به عنوان موضوع مهمی در مقالات اخیر مطرح شده است [۳۵,۳۶]. یک خوراک شامل یک گاز غیرقابل چگالش بی‌اثر و یک گاز با قدرت جذب کم (N₂, He) به همراه یک بخار برای پرکردن حفرات عادی به درون غشا فرستاده می‌شود. بخار مذکور قدرت جذب بالایی دارد. به عنوان نمونه می‌توان از LTA-هگزان برای غشاوی آب گریز مانند سیلیکات-۱ یا آب برای غشاوی آب دوست مانند FAU یا n-p/p_s با افزایش نسبت فشار با گاز بی‌اثر مخلوط می‌گردد. بخار حفرات عادی غشا را استفاده کرد. این بخار با افزایش نسبت فشار با گاز بی‌اثر مخلوط می‌گردد. بخار حفرات عادی غشا را پر کرده و آنها را برای عبور گاز بی‌اثر مسدود می‌نماید. در نتیجه شار باقیمانده He یا N₂ نشان دهنده وجود حفرات معیوب غیرعادی در غشا زئولیت با اندازه مزو یا ماکرو است. افزایش مشارکت Al در ساختار زئولیت منجر به افزایش این حفرات معیوب و در نتیجه کاهش فاکتور جداسازی می‌گردد. غشا سیلیکات-۱ در $n\text{-hexane } p/p_s > 0.05$ شار باقیمانده نیتروژن قابل اندازه‌گیری ندارد و حداقل فاکتور جداسازی را دارا می‌باشد.



شکل ۶- خصوصیات غشاوی MFI با نسبت‌های مختلف Al/Si. نشان دهنده تراوش نیتروژن باقیمانده برای اندازه‌گیری افزایش عیوب با مقدار Al [۳۴].

با توجه به نتایج آزمایشگاهی، افزایش مشارکت Al در ساختار با افزایش بار سطحی منفی کریستال ZSM-5 همراه است. این بار منفی موجود در ماده اولیه مانع تولید لایه غشاوی پیوسته و گاز بندی^۲ شده در مقایسه با غشا سیلیکاتی بدون Al می‌شود. به همین دلیل با استفاده از ISS می‌توان این بار سطحی منفی موجود را جبران نمود (شکل ۷). مولکول‌های باردار مثبت کوچکی هستند که در حین سنتز غشا در محیط قلیایی پایدارند و در نهایت با کلسینه شدن از ساختار غشاء خارج می‌شوند. در ارزیابی ISS مختلف J₂-LHMEDA با غلظت ۱m /۰ مطلوب‌ترین ISS شناخته شده است [۳۷].

¹ intergrowth supporting substances
² gas-tight



شکل -۷ پتانسیل (بار سطحی منفی) کریستال های معلق MFI با نسبت های Si/Al مختلف در دمای محیط. پس از افزودن هگزا متیل اتیلن دی-آمونیوم دی-جذید (J₂-L₁m) (HMEDA-J₂) به عنوان ISS، بار منفی کاهش می باید [۳۷].

۶-۲-کریستالیزاسیون با گرمایش میکروویو

کریستالیزاسیون با مشارکت میکروویو یک ابزار کارامد برای تولید مواد زئولیتی مختلف در زمان کم می باشد. در اوایل ۱۹۹۰ تجرب خوبی در کریستالیزاسیون زئولیت با استفاده از امواج میکروویو برای گرمایش اتوکلاو حاصل شده است. با این روش بطور شگفت انگیز تک کریستال های بزرگی در زمان کوتاهی حاصل می گردند. اینطور بنظر می رسد که هیچگونه اثر ذاتی میکروویو بر کریستال که منجر به کاهش زمان کریستالیزاسیون شده، در مقایسه با گرمایش معمولی وجود نداشته باشد. بهر حال، اثرات دیگر میکروویو که از ورورد سریع انرژی سرچشمه می گیرد، وجود دارد. این انرژی سیستم را سریعاً به دمای کریستالیزاسیون رسانده و مانع تشکیل سیتیکی هسته ها می گردد. علاوه بر این، بدليل گرمایش تشدیدی مخلوط سنتز، بخش های سیلیکاتی در تعادل حرارتی سیتیکی نمی باشند. انتظار می رود در آینده با پیشرفت در این زمینه، از گرمایش میکروویو در سنتز غشا های زئولیتی بیشتر استفاده شود [۳۸].

۶-۳-غشا های زئولیتی جهت دار

برای کاربرد فیلم زئولیت به عنوان غشای جداسازی، راکتور غشایی کاتالیستی، سنسور شیمیایی، الکترود، دستگاه اپتوالکتریک، ماده با ثابت دی الکتریکی کم، لایه عایق یا محافظ الکتریکی، ساختار ناهمسانگرد^۱ حفره ای اکثر زئولیت ها، به کنترل جهت غشا نیاز دارد. دستیابی به جهت یابی حفرات در فیلم ها و غشاها یکی از موضوعات چالش برانگیز در علم مواد متخلخل می باشد. با مطالعه نفوذ ناهمسانگرد ساختار MFI، به نظر می رسد که تراوش از غشای MFI در جهت c، کمتر مورد توجه باشد. یک لایه MFI در جهت a، شار بالاتری دارد. با رشد فیلم زئولیت از یک بذر منولا یه جهت دار با استفاده از روش رشد ثانویه، غشای نهایی می تواند با همان جهت لایه بذر اولیه تولید گردد. فیلم های MFI در جهت a، با رشد ثانویه لایه های بذر در جهت a، تحت شرایط هیدروترمال با استفاده از تریمر تترابلی آمونیوم یدید به عنوان SDA، قابل تهیه می باشند. برای ترسیب^۲ بذرها در جهت a، پایه استیل ضدزنگ می باشد با استفاده از یک لایه سیلیکا مزو متخلخل متوسط صیقل داده شود. سپس منوالهای بذر MFI بطور کووالانسی به لایه سیلیکا متصل می گردد [۳۹].

¹ anisotropic

² deposit

۷- کاربرد زئولیت‌ها در جداسازی

مطالعات اولیه بروی جذب گازها و بخارات، به ۱۱۰۰ سال پیش از میلاد مسیح یعنی زمانی که گیدوئن^۱ آزمایشاتی را بر روی پشم انجام داد، بر می‌گردد. پدیده جذب و دفع برگشت پذیر آب در کانی‌های زئولیت از سال‌ها پیش مورد توجه بسیاری از محققین قرار گرفته بود. در سال ۱۸۴۰ دامور^۲ مشاهده کرد که زئولیت می‌تواند به طور برگشت‌پذیر و بدون هیچ‌گونه تغییر در ظاهر و مورفولوژی اش، آب را جذب و دفع نماید.^[۲۰] جداسازی در زئولیت‌ها به دو بخش جداسازی مایعات و گازها تقسیم می‌گردد.

۷-۱- جداسازی گازها

زئولیت‌های سنتز شده پتانسیل بالایی در جداسازی مخلوط گازها دارند. اخیراً مطالعات و تحقیقات فراوانی بر روی آنها انجام گرفته است.^[۱۰-۱۳] غشاها زئولیتی با ترکیب اندازه حفره، انتخابگری شکلی، پایداری شیمیایی، حرارتی و مکانیکی بالا برای جداسازی بسیار مناسب هستند.

- جداسازی فاز گاز غشاها MFI (یا در کل غشاها زئولیتی) را می‌توان با فاكتورهای زیر توصیف کرد:
- هنگامی که یک تفاوت آشکار در قطر سیتیکی گاز یا بخاری که تراوش^۳ می‌کند و غربال مولکولی رخ می‌دهد، وجود داشته باشد. به عنوان مثال می‌توان جداسازی مخلوط n -بوتان و n -بوتان را نام برد.
 - هنگامی که یکی از عناصر مخلوط بتواند بر روی دیواره حفرات جذب گردد. آنگاه می‌تواند انتخابگرانه انتقال یافته و غشا را برای سایر بخش‌های مخلوط مسدود گردد. مانند جداسازی مخلوط‌های دی‌اکسید‌کربن/هیدروژن، n -بوتان/هیدروژن.
 - گاهی اوقات درجه جداسازی توسط ویژگی آب گریزی یا آب دوستی زئولیت و قطبیت مولکول‌ها تعیین می‌گردد. مانند ویژگی آب گریزی سیلیکات، که برای جداسازی مخلوط‌های آب/اتانول و استون/آب استفاده می‌شود.^[۲۶] در ادامه چند نمونه از جداسازی گازها توضیح داده شده است.

۷-۱-۱- جداسازی هیدروژن

در میان غشاها میکرومخلخل، غشاها اکسید فلزی، و غشاها زئولیتی، به خصوص زئولیت MFI برای جداسازی هیدروژن مورد استفاده قرار می‌گیرد. غشا موردنظر باید دارای حفره‌ای با قطری بزرگتر از قطر سیتیکی H_2 که حدوداً 29nm است، و کوچکتر از قطر سیتیکی مولکولی که H_2 می‌خواهد از آن جدا شود، باشد. معمولاً غشاها میکرومخلخل بر پایه اکسیدهای فلزی SiO_2 , TiO_2 , ZrO_2 پایداری حرارتی بسیار محدودی در مقایسه با غشاها زئولیتی دارند. نتیجه جداسازی بر مبنای اثر متقابل جذب سطحی و نفوذ مخلوط می‌باشد. به عنوان مثال، فاكتور جداسازی (α) H_2 از n -بوتان از حدود $1/5 \approx 0.2$ در دمای اتاق به 20°C در 500°C افزایش می‌یابد. زیرا هم H_2 و هم n -بوتان می‌توانند از حفرات 55nm غشا سیلیکات-۱ به دلیل قطر کوچکترشان (29nm و 50nm) عبور کنند. در دمای پایین، اساساً n -بوتان در حفرات سیلیکات-۱ جذب شده و مانع نفوذ H_2 سیار که بندرت جذب شده، می‌گردد. با افزایش دما n -بوتان کمتری جذب گردیده و H_2 می‌تواند در فضای آزاد ایجاد شده، نفوذ کند. بهر حال، اگر بتوان غشاها زئولیتی SiO_2 با اندازه حفره حدود 3nm برای غربال مولکولی تهیه نمود، آنگاه غشاها زئولیتی ابزار مهمی برای جداسازی هیدروژن محسوب می‌گردد.^[۴۱, ۴۰]

علاوه بر غشاها MFI (سیلیکات-۱)، اخیراً در مقالات، غشاها DDR نیز برای جداسازی H_2 بررسی شده است. شکل (۱-a) تراوش هیدروژن، هلیم، منوكسیدکربن، دی‌اکسیدکربن و SF_6 را از طریق غشا سیلیکات-۱ در محدوده وسیع دمایی نشان می‌دهد. قطر سیتیکی عناصر ($\text{He}(2.6\text{\AA}) < \text{H}_2(2.89\text{\AA}) < \text{CO}_2(3.3\text{\AA}) < \text{CO}(3.76\text{\AA}) < \text{SF}_6(5.5\text{\AA})$)

¹ High-Silica

² Damour

³ permeance

افزایش می‌یابد. همانگونه که نشان داده شده است، SF₆ حداقل تراوش گازی با انرژی اکتیواسیون بیشتر از صفر را دارد. در دمای اتاق، گزینش پذیری تراوشی^۱ H₂/SF₆ ۹۰ می‌باشد، که از انتخابگری نادسن^۲ (۸/۵) بسیار بزرگتر می‌باشد. شکل (۸-۶) تراوش گازها را از طریق غشای زئولیتی DDR نشان می‌دهد. تراوش دی‌اکسیدکربن با افزایش دما شدیداً کاهش یافته و توسط زئولیت DDR به خوبی جذب می‌گردد. دلیل این کاهش تراوش با افزایش دما، کاهش ثابت جذب سطحی تعادلی با افزایش دما می‌باشد. برخلاف سیلیکات-۱ تراوش هیدروژن و هلیم در غشای DDR با افزایش دما، افزایش می‌یابد و این نشان دهنده انرژی اکتیواسیون بزرگی می‌باشد. بنابراین، نفوذ هیدروژن و هلیم در زئولیت DDR انرژی اکتیواسیون بزرگتری نسبت به سیلیکات دارد. در دمای بالا ($>300^{\circ}\text{C}$) و برای مولکول‌های گازی کوچک، اثرات جذب سطحی قابل صرف نظر بوده و تراوش آن توسط نفوذ اندازه‌گیری می‌شود. برای غشای سیلیکات، تراوش با افزایش دما کاهش یافته و میزان آن با توجه به وزن مولکولی، نه قطر سینتیکی، مولکول‌ها تعیین می‌گردد. نفوذ مولکول‌ها در زئولیت حفره کوچک DDR و غشای سیلیکا فرایند‌های فعال سازی را نشان می‌دهد، که با افزایش اندازه مولکول‌ها، تراوش کاهش می‌یابد[۴۲].

۲-۱-۷- جداسازی دی‌اکسیدکربن

غشاهای پلیمری برای خالص سازی گاز طبیعی (جداسازی CO₂, H₂O, H₂S) استفاده می‌شوند. این غشاها کارایی بالایی در جداسازی CO₂/CH₄ دارند، اما بدليل نفوذ و انتخابگری کم و همچنین اندازه مشابه CH₄, CO₂ و N₂ (CO₂/N₂ = ۰/۳۶, ۰/۳۸, ۰/۳۳nm) عملکرد پایینی در جداسازی N₂/CO₂ دارند. غشاهای زئولیتی نتایج خوبی در جداسازی CO₂ از N₂ و CH₄ نشان داده‌اند[۱۱-۱۳]. انتخابگری حدود ۱۰ برابر غشای سیلیکات-۱ در دمای ۱۲۰°C بدست آمده است. CO₂ گشتاور چهارقطبی الکترواستاتیکی قوی‌تری نسبت به N₂ دارد. بهمین دلیل در مخلوط CO₂/N₂، ترجیحاً CO₂ جذب غشا می‌گردد. یکی از مشکلات، جداسازی CO₂ از N₂ در گاز خروجی از دودکش‌ها، بدليل فشار بالا گاز خروجی می‌باشد. حداکثر فاکتور جداسازی مخلوط (a) = CO₂/N₂ = ۱۲-۱۳ در فشار بیتن ۱۶-۶bar بدست آمده است. انتخابگری N₂/CO₂ به، ۱- نوع پایه و ۲- اصلاح ساختاری MFI بستگی دارد. Boron-ZSM-5 انتخابگری بالاتری از Na-ZSM-5 برای CO₂ دارد، که نشان دهنده مکانیزم جذب عناصر الکترواستاتیک می‌باشد. نسبت تراوش CO₂/H₂ برای غشای MFI با کاهش نسبت Si/Al، توسط تعویض یونی Ba²⁺ با نیترات کلسیم افزایش می‌یابد[۴۳].

۲-۷- جداسازی مایعات

اولین کاربرد صنعتی غشاهای زئولیت در آب زدایی مخلوط آ-پروپانول و اتانول توسط غشاهای LTA صورت گرفته است[۳۴]. در ادامه چند نمونه از جداسازی مایعات توسط زئولیتها آورده شده است.

۲-۱-۷- جداسازی آب

برای مخلوط بنزین میزان آب اتانول (EtOH) می‌باشد، برای تولید اتیل بوتیل اتر نوع سوم (ETBE) میزان آب (بیو) اتانول می‌باشد کمتر از ۵۰۰ ppm باشد. غشاهای زئولیتی آب دوست LTA در جداسازی آب از محلول آلی توسط تراوش بخار و تراوش تبخیری^۳، بسیار انتخابگر بوده و در نتیجه، می‌تواند برای تهیه اتانول بدون آب استفاده گردد. غشاهای LTA توسط موسسه تحقیقاتی نانوتکنولوژی بوسان (BNRI) تولید و توسعه یافته‌اند. غشاهای آب دوست LTA برای نمک‌دادی^۴ در صنعت استفاده می‌شوند. شار آب اندازه‌گیری شده در عملیات تراوش تبخیری برای محلول اتانول ۹۰٪ وزنی در ۷۵°C حدود ۷kg/m²h با فاکتور جداسازی (آب/اتanol) ≈ ۱۰۰۰ می‌باشد[۳۴].

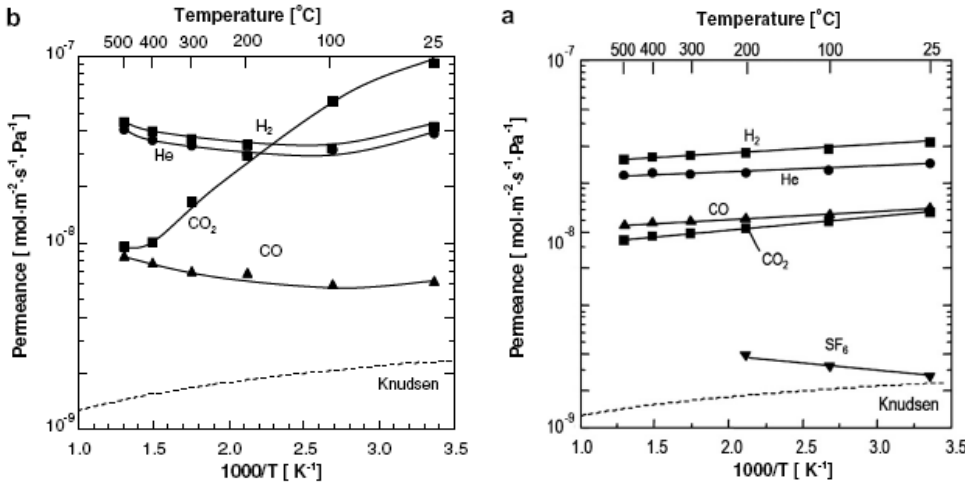
¹ permselectivity

² Knudsen

³ pervaporation

⁴ de-hydration





شکل ۸- تراوش گازهای خالص برای غشای سیلیکات-۱ (a) و برای غشای زئولیتی DDR [41] (b)

۲-۲-۷- جداسازی p-زایلن

جداسازی ایزومرهای زایلن توسط تبلور جز به جز، جذب سطحی یا تقطیر مصرف انرژی بالای داشته و به همین دلیل با غشاهای جداسازی جایگزین می‌گردد. با افزودن یک قالب آلی مانند تترابروپیل-آمونیوم برمید به محلول سنتر غشای سیلیکا، اندازه معمول حفره غشا از $4\text{nm}/5-6/0-0/4\text{nm}$ به $5-6/0-0/4\text{nm}$ تغییر می‌یابد. این غشاهای سیلیکا دارای گزینش‌پذیری تراوشی ایده‌آلی برای جداسازی مخلوط p-0-زایلن در حدود $20-10$ می‌باشند. یک غشای کربستالی سیلیکات-۱ با اندازه حفره 0.055nm برای جداسازی p-زایلن (قطر سیتیکی 0.058nm) از m-زایلن (قطر سیتیکی 0.068nm) بسیار مناسب بوده و پایداری بیشتری نسبت به سیلیکا دارد [۳۴].

۲-۲-۷-۳- جداسازی الكل

چندین نوع از غشاهای آب دوست مانند LTA و FAU می‌توانند برای استخراج آب استفاده گردند. همان غشاهای می‌توانند برای جداسازی الكلهای با قطبیت بیشتر از الكلهای قطبیت کمتر یا از نوع معدنی آنها استفاده گردند. نتایج قابل قبولی در جداسازی الكلهای با استفاده از غشا FAU حاصل گردیده است. در تراوش تبخیری مخلوط $10\%/\text{MTBE}$ در دمای 50°C فاکتور جداسازی بیشتر از 10000 و شار مтанول حدود $1/5\text{kg/m}^2\text{h}$ مشخص گردیده است. غشاهای آب گریز دیگری مانند MFI نیز در جداسازی الكلهای نیز استفاده می‌شوند. شار نمونه این غشا حدود $1\text{kg/m}^2\cdot\text{h}$ است که محصول 85% وزنی اتانول از یک خوراک با 8% وزنی اتانول با فاکتور جداسازی 57 را تولید می‌کند. با بهینه کردن ساختار پایه، کاهش ضخامت غشا و افزایش نسبت Si/Al MFI غشای 5nm می‌توان شار اتانول را افزایش داد. با تغییر لایه رویی پایه از لایه فیلتراسیون $\text{-آلومینای } 7\text{ nm}$ به یک لایه میکروفیلتراسیون $\text{-آلومینا } 250\text{ nm}$ ، شار غنی از اتانول (بین 70 تا 80% وزنی اتانول) می‌تواند از $1/4\text{kg/m}^2\cdot\text{h}$ به $1/8\text{kg/m}^2\cdot\text{h}$ افزایش یابد. اخیراً غشا TS-1 در جداسازی اتانول مورد بررسی قرار گرفته و در تست تراوش تبخیری آن برای خوراک شامل 5% وزنی اتانول/آب، فاکتور جداسازی مخلوط 127 و شار کلی $0.77\text{kg/m}^2\cdot\text{h}$ حاصل شده است [۳۴].

۸- کاربردهای جدید غشای زئولیتی

۸-۱- راکتورهای غشایی

مثال‌هایی زیادی برای کاربرد غشاهای زئولیتی در افزایش راندمان یک واکنش شیمیایی وجود دارد، مانند هیدروژن زدایی^۱، اکسیداسیون جزئی و ایزومریزاسیون. کاربرد غشای زئولیتی در راکتورهای برای افزایش درصد

^۱ De-hydrogenation

تبديل با جابجایی تعادلی یا حذف انتخابگرانه بازدارنده‌های سرعت واکنش، می‌باشد. بدليل ویژگی غربال مولکولی غشاها زئولیتی، آنها را "راکتور استخراج کننده غشاوی" می‌نامند. حذف مولکول‌های کوچک محصول مانند هیدروژن یا آب، تحت شرایط سیستمیکی واکنش تعادلی، باعث افزایش تبدیل و راندمان نهزادی و هیدروژن‌زدایی می‌شود. فیلم‌های زئولیتی می‌توانند انتخابگری یک واکنش را افزایش دهن، مانند پوشش انتخابگر کاتالیست CO/SiO_2 توسط پوسته H-ZSM-5، که موجب افزایش انتخابگری برای اپارافین‌های متوسط و تحت فشار قرار دادن تشکیل هیدروکربن‌های زنجیره بلند در فرایندهای فیشر-ترپش می‌گردد.^[۳۴]

۲-۸- راکتورهای میکرو غشاوی

ترکیب مفاهیم راکتور غشاوی و مینیاتورسازی فرایند، روش‌های جدیدی برای سنتز شیمیایی فراهم ساخته که سنتز را بسیار کارآمدتر، شفافتر و ایمن‌تر می‌گرداند. انتظار می‌رود که این سیستم‌های شیمیایی هوشمند میکرو غشاوی به یک تشخیص توزیع شده، بر روی سایت و شبکه محصولات مورد نیاز با ارزش افزوده بالا دست یابند. این پیشرفت منجر به تشکیل کارخانجات مینیاتوری و میکرو داروخانه‌ها می‌گردد.^[۴۵,۴۶]

۳-۸- فیلم‌های زئولیتی چند کاره

علاوه بر کاربرد زئولیت‌ها به عنوان غشاوی جداسازی و راکتورهای غشاوی کاتالیستی، لایه‌های زئولیت می‌توانند به عنوان یک فیلم چندکاره در سنسورهای شیمیایی، الکترودها، دستگاه اپتوالکترونیک یا مواد با ثابت دیالکتریک کم، لایه‌های عایق یا محافظ، پوشش‌های مقاوم به خوردگی، پوشش‌های ضدمیکروبی آب دوست یا زئولیت سولفونه BEA برای غشاها تعویض پروتونی، عمل نمایند. با استفاده از روش تبدیل ژل خشک به عنوان یک روش جایگزین برای کریستالیزاسیون یک لایه زئولیت در فاز مایع، می‌توان یک ژل سیلیکات (آلومینا) را به لایه زئولیت در حضور بخارها تبدیل نمود. فاز بخار می‌تواند تنها بخارآب یا مخلوطی از بخارآب و SDA، مانند TPAOH باشد.^[۳۴]

۴-۸- غشاها شبکه مختلط^۱

بالاگسله بعد از اولین تولید زئولیت سنتز شده، ایده مشارکت کریستال‌های زئولیت به عنوان اصلاح کننده ماتریس‌های پلیمری ایجاد شد. غشاها ماتریسی مختلط سیستم‌های مورد توجه برای ارتقاء ماتریس میزبان بودند. در حال حاضر به نظر می‌رسد که غشاها پلیمری به یک حد در بهینه سازی بین انتخابگری و تراوش‌پذیری رسیده‌اند. بنابراین، تلاش‌های تحقیقاتی بر روی غشاها ماتریسی مختلط انجام می‌شود که شامل بخش‌های متخلخل (نانو) در ماتریس‌های پلیمری می‌باشد.^[۳۴]

۹- نتیجه‌گیری و چشم‌انداز

با توجه به انواع زئولیت‌ها، در دسترس بودن مواد اولیه مورد نیاز، انتخابگری بالا، جداسازی مولکول‌ها براساس اندازه، مقاومت مطلوب در برابر دما و فشار و همچنین قابلیت بالقوه در جداسازی، استفاده از غشاها زئولیتی در فرایند جداسازی، جایگزین مناسبی برای روش‌های جداسازی مرسوم محسوب می‌شود. مهمترین مشخصه‌های فیزیکی یک زئولیت، توزیع اندازه حفره‌ها و اندازه متوسط آنها، تخلخل و مورفوژوئی آن است، که از آزمایشات ساده و همینطور از طریق تصاویر میکروسکوپ الکترونی قابل دستیابی می‌باشد. زئولیت‌های طبیعی بندرت خالص می‌باشد و در درجات مختلف با سایر کانی‌ها مخلوطاند. به همین دلیل زئولیت‌های طبیعی برای بسیاری کاربردهای صنعتی، که یکنواختی و خلوص موردنیاز می‌باشد، نامناسب

^۱ mixed matrix membrane



است. سنتز می‌تواند زئولیت را در فاز خالص و یکنواخت تولید کند. با در نظر گرفتن مزایا و راندمان بسیار بالای جداسازی توسط این زئولیتها و در دسترس بودن تجهیزات مورد نیاز برای تولید آنها، می‌توان گفت این غشاها به خوبی مستعد صنعتی شدن هستند.

با وجود اینکه ۲۵ سال از توجه مراکز تحقیقاتی به غشاها زئولیتی می‌گذرد، اما تنها تعداد کمی واحد آزمایشی صنعتی وجود دارد. بهر حال، زمینه اصلی کاربرد غشا زئولیتی، جداسازی انتخابگرانه بر اساس شکل و اندازه مولکول‌ها می‌باشد. با پیشرفت اخیر در ابزار آنالیز قدرتمند مانند میکروسکوپ لیزری هم کانون، بنظر می‌رسد که کریستالیزاسیون لایه‌های زئولیتی جهت‌دار بر روی پایه‌ها، کاربرد مناسب گرمایش میکروویو و تولید انبوه و صنعتی غشاها زئولیتی می‌تواند صورت پذیرد. اگرچه مشکل کاهش هزینه‌های پایه‌های نامتقارن چند لایه هنوز نیاز به تحقیقات و بررسی بیشتری دارد.

انتظار می‌رود که پیشرفت قابل توجهی در لایه‌های زئولیتی پایه دار باریک ($1\mu\text{m}$) بر روی حامل‌های متنوعی مانند لوله‌های موئین، الیاف، لوله‌ها یا ستون‌های سنگی صورت پذیرد. لایه‌های زئولیتی جهت‌دار، غشاها با شار بالا را فراهم خواهد کرد. سنتز بدون مولکول قالب، فشار حرارتی در حذف قالب اکسایشی را کاهش خواهد داد. رشد ثانویه یک پایه بذردار بسیار در مقالات تاکید و پیشنهاد شده است و همچنین روشی برای تولید لایه‌های چندکاره می‌باشد. حلقه‌های ۶ عضوی مانند SOD (اندازه حفره 0.28nm) و غشاها زئولیتی با حلقه‌های ۸ عضوی مانند CHA (0.34nm) و DDR (0.44nm) برای جداسازی مولکول‌های کوچک مانند آب و هیدروژن مناسب می‌باشند.

مراجع

1. J. Čejka, H. V. Bekkum, A. Corma, "Introduction to zeolite science and practice", ELSEVIER, (2007), 103.
2. S. M. Auerbach, K. A. Carrado, P. K. Dutta; "Handbook of zeolite science and technology", Marcel Dekker, INC., (2003), Chap1.
3. K. Sahner, G. Hagen, D. Schonauer, S. Reib, R. Moos, "Zeolite-versatile material for gas sensors", Solid State Ionics, 179, (2008), 2416.
4. J. Caro, M. Noack, P. kolsch, R. Schafer, "Zeolite membrane- state of their development and perpective", Microporous and Mesoporous Materials, 38, (2000), 3.
5. Schubert, U.(Uirich), "Synthesis of Inorganic material", Wiley-VCH, (2005), 330.
6. J. Hagen, "Industrial catalysis", Second Edition, Wily-VCH verlag GmbH, (2006), 212.
7. M. Yu, J. C. Wyss, R. D. Noble, J. L. Falconer, "2,2-Dimethylbutane adsorption and diffusion in MFI zeolite", Microporous and mesoporous Materials, 111, (2008), 24.
8. E. Piera, A. Giroir-Fendler, J. A. Dalmon, "Sepration of alcohols and alcohols/O₂ mixtures using zeolite MFI membranes", Journal of membrane science, 142, (1998), 97.
9. K. Wegner, J. Dong, Y.S. Lin, "Polycrystalline MFI zeolite membrane: Xylene pervaporation and its implication on membrane microstructure", Journal of membrane science, 158, (1999), 17.
10. M. Arruebo, J. Coronas, M. Menendez, J. Santamaria, "Sepration of hydrocarbons from natural gas using silicste membrane", sepration and Purification Technology, 25, (2001), 275.
11. D. W. Shin, S. H. Hyun, C. H. Cho, "Synthesis and CO₂/N₂ gas permeation characteristics of ZSM-5 zeolite membranes", Microporous and Mesoporous Materials, 85, (2005), 313.
12. F. Bonhomme, M. E. Welk, T. M. Nenoff, "CO₂ selectivity and lifetimes of high silica ZSM-5 membranes", Microporous and Mesoporous Materials, 66, (2003), 181.
13. J. C. Poshusta, R. D. Noble, J. L. Falconer, "Temperature and pressure effects on CO₂ and CH₄ permeation through MFI zeolite membrane" Journal of membrane science, 160, (1999), 115.
14. M. P. Bernal, J. Coronas, M. Menendez, J. Santamaria, "Sepration of CO₂/N₂ mixtures using MFI-type zeolite membrane", AIChE Journal, 50, (2004), 127.
15. J. N. Armor, "Application of catalytic inorganic membrane reactors to refinery products", Journal of Membrane Science, 147, (1998), 217.
16. A. J. Burggraaf, "Fundamental of inorganic membrane science and technology", (2004), 313.
17. Z. P. Vroon, K. Keizer, "Preparation and characterization of thin zeolite MFI membrane on porous support", Journal of membrane Science, 149, (1998), 65.
18. R. Lai, Y. Yan, G. R. Gavalas, "Growth of ZSM-5 films on alumina and other surfaces" Microporous and Mesoporous Materials, 37, (2000), 9.



19. G. Xomeritakis, S. Nari, M. Tsapatsis, "Transport properties of alumina-supported MFI membranes made by secondary (seeded) growth", *Microporous and Mesoporous Materials*, 38, (2000), 61.
20. R. Lai, G. R. Gavalas, "ZSM-5 membrane synthesis with organic-free mixtures", *Microporous and Mesoporous Materials*, 39, (2000), 239.
21. M. L. Gualtieri, "Synthesis of MFI films on α -alumina at neutral pH", *Microporous and mesoporous Materials*, 117, (2009), 508.
22. J. B. Lee, H. H. Funke, R. D. Noble, J. L. Falconer, "High selective in defective MFI membranes", *Journal of membrane science*, 321, (2008), 309.
23. J. Dong, Y.S. Lin, M. Z. C. Hu, "Template-removal-associated microstructural development of porous- ceramic- supported MFI zeolite membranes", *Microporous and mesoporous Materials*, 34, (2000), 241.
24. A. J. Burggraaf, "Single gas permeance of thin zeolite (MFI) membranes: theory and analysis of experimental observations", *Journal of membrane science*, 155, (1999), 45.
25. K. Keizer, A. J. Burggraaf, Z. A. E. P. Vroon, H. Verweij, "Two component permeation through thin zeolite MFI membrane", *Journal of membrane science*, 147, (1998), 159.
26. A. J. Burggraaf, Z. A. E. P. Vroon, K. Keizera, H. Verweij, "Permeation of single gases in thin zeolite MFI membrane", *Journal of membrane science*, 144, (1998), 77.
27. M. Lassantti, F. Jareman, J. Hedlund, "Preparation and evaluation of thin ZSM-5 membranes synthesized in the absence of organic template molecules", *Catalysis Today*, 67, (2001), 109.
28. Y. Li, M. Pera-Titus, G. Xiong, W. Yang, E. Landrion, S. Miachon, "Nanocomposite MFI-alumina membrane via pore-plugging synthesis: Genesis of the zeolite material", *Journal of Membrane Science*, 325, (2008), 973.
29. T. C. Bowen, R. D. Nobel, J. L. Falconer, "Fundamentals and application of pervaporation through zeolite membrane", *Journal of Membrane Science*, 245, (2004), 1.
30. J. G. Martínez, D. C. Amorós, A. L. Solano, Y. S. Lin, "Synthesis and characterization of MFI-zeolites supported on carbon materials", *Microporous and Mesoporous Materials*, 42, (2001), 255.
31. W. C. Wong, L. T. Y. Au, C. T. Ariso, "Effect of synthesis parameters on the zeolite membrane growth", *Journal of membrane science*, 191, (2001), 141.
32. Y. S Lin, "Microporous and dense inorganic membranes: current status and prospective", *Separation and Purification Technology*, 25, (2001), 39.
33. H. Chon, S. E. Park, "Recent advance and new horizons in zeolite science and technology", Elsevier Science, (1996).
34. J. Caro, M. Noack, "Zeolite membrane-Recent development and progress", *Microporous and Mesoporous Materials*, 115, (2008), 215.
35. M. Noack, P. Kölsch, V. Seefeld, P. Toussaint, G. Georgi, J. Caro, "Influence of the Si/Al-ratio on the permeation properties of MFI membrane", *Microporous and Mesoporous Material*, 79, (2005), 329.
36. M. Noack, G. T. P. Mabande, J. Caro, G. Georgi, W. Schwieger, P. Kölsch, A. Avhale, "Influence of Si/Al ratio, pre-treatment and measurement conditions on permeation properties of MFI membranes on metallic and ceramic supports", *Microporous and Mesoporous Material*, 82, (2005), 147.
37. M. Noack, P. Kölsch, A. Dittmar, M. Stöhr, G. Georgi, R. Eckelt, J. Caro, "Effect of crystal intergrowth supporting substances (ISS) on the permeation properties of MFI membranes with enhanced Al-content", *Microporous and Mesoporous Material*, 97, (2006), 88.
38. K. Weh, M. Noack, I. Sieber, J. Caro, "Permeation of single gases and gas mixtures through faujasite-type molecular sieve membranes", *Microporous and Mesoporous Material*, 54, (2002), 27.
39. S. Aguado, E. E. McLeary, A. Nijmeijer, M. Luiten, J. C. Jansen, F. Kapteijn, "b-Oriented MFI membranes prepared from porous silica coatings", *Microporous and Mesoporous Material*, 326, (2008), 12.
40. U. Illgen, R. Schäfer, M. Noack, P. Kölsch, A. Kühnle, J. Caro, "Membrane supported catalytic dehydrogenation of iso-butane using an MFI zeolite membrane reactor", *Catalysis Communications*, 2, (2001), 339.
41. B. Chommeloux, S. Cimaomo, E. Jolimaitre, D. Uzio, P. Magnoux, J. Sanchez, "New membrane for use as hydrogen distributor for hydrocarbon selective hydrogenation", *Microporous and mesoporous Materials*, 109, (2008), 28.
42. Y. S. Lin, M. Kanezashi, "Gas permeation and diffusion in small and intermediate pore zeolite membranes", *Studies in Surface Science and Catalysis*, 170, (2007), 847.
43. J. Lindmark, J. Hedlund, "Separation of CO₂ and H₂ with modified MFI membranes", *Studies in Surface Science and Catalysis*, 170, (2007), 975.
44. Y. L. A. Leung, K. L. Yeung, "Microfabricated ZSM-5 zeolite micromembranes", *Chemical Engineering Science*, 59, (2004), 4809.
45. A. Y. L. Leung, K. L. Yeung, "Microfabricated zeolite micromembranes", *Studies in Surface Science and Catalysis*, 154, (2004), 671.



فرآوری شیشه بر پایه‌ی $\text{SiO}_2\text{-CaO-SrO}$ به روش سل-ژل و بررسی زیست فعال این شیشه

سارا شهرابی^۱, سعید حصارکی^۲, محمدرضا واعظی^۲, زهره همنبرد^۳

^۱ دانشجوی کارشناسی ارشد، پژوهشگاه مواد و انرژی

^۲ استادیار پژوهشگاه مواد و انرژی

^۳ هیأت علمی پژوهشگاه علوم و فنون هسته‌ای

Shahrabi_s@merc.ac.ir

چکیده: شیشه‌های زیست فعال موادی هستند که امکان تشکیل آپاتیت بیو میمیتیک نانو ساختار روی سطح آن‌ها وجود دارد. پژوهش‌ها نشان داده است استفاده از یون‌های مانند استرانسیم در ترکیب آپاتیت و سایر بیو سرامیک‌ها باعث افزایش سرعت بازسازی بافت استخوانی آسیب دیده می‌شود. در این پژوهش زیست فعال شیشه‌ی تهیه شده بر پایه‌ی سیستم $\text{SiO}_2\text{-CaO-SrO}$ مورد بررسی قرار گرفت. شیشه مذکور توسط روش سل-ژل فرآوری شد. شیشه‌ی فرآوری شده به شکل قرص‌هایی با وزن یکسان برای مدت زمان‌های مشخص درون محلول مشابه بدن (SBF) قرار داده شد. بررسی‌های XRD و FTIR و SEM بر روی قرص‌ها قبل و بعد از غوطه‌وری درون SBF انجام گرفت. به منظور بررسی میزان رهایش یون‌ها از شیشه درون محلول SBF، مقدار معینی از این محلول در روزهای مشخص برداشت شده و غلظت یون‌های کلسیم، سیلیسیم و استرانسیم با آزمون ICP اندازه‌گیری شد. همچنین به منظور بررسی ویژگی‌های بیولوژیکی شیشه، سلول‌های استخوانی موش بر روی سطح شیشه کشت شده، برای بررسی تکثیر سلولی از آزمون MTT و برای بررسی مورفوولوژی سلول‌های چسبیده روی سطح از میکروسکوپ الکترون روشنی SEM استفاده شد. نتیجه‌ی آزمون XRD قبل از غوطه‌وری یک ماده‌ی آمورف را نشان داد. پس از انجام مراحل غوطه‌وری، الگوی پراش پرتو ایکس حضور فاز آپاتیت با بلورینگی کم را به صورت یک پیک پهن نشان داد که شدت آن با افزایش زمان غوطه‌وری درون محلول SBF افزایش می‌یابد. در الگوی FTIR پس از انجام غوطه‌وری، پیک جذب پرتو ایکس حضور فاز آپاتیت با بلورینگی کم را به صورت مربوط به فسفات و کربنات ظاهر شد که نشان‌دهنده‌ی تشکیل فاز آپاتیت کربناتی بر روی سطح شیشه بود. تصاویر SEM نشان داد فاز آپاتیت تشکیل شده روی سطح شیشه دارای مورفوولوژی کروی می‌باشد که قطر کره‌های تشکیل شده کمتر از ۱۰۰ نانومتر بود. نتایج آزمون MTT تکثیر سلول‌های استخوانی روی سطح شیشه با گذشت زمان را نشان دادند. عکس SEM تهیه شده بعد از کشت سلول نشان داد که سلول استخوانی روی سطح به خوبی چسبیده و با کریستال‌های سوزنی $\text{SiO}_2\text{-CaO-MgO}$ شکل روی سطح درگیر شده است. نتایج این پژوهش نشان دادند که شیشه‌ی $\text{SiO}_2\text{-CaO-SrO}$ تهیه شده به روش سل-ژل، زیست فعال بوده و مستعد تشکیل فاز هیدروکسی آپاتیت نانو ساختار بر روی سطح شیشه می‌باشد و در عین حال توانایی تکثیر و رشد سلول را دارد است.

کلمات کلیدی: شیشه زیست فعال، سل-ژل، استرانسیم، هیدروکسی آپاتیت نانو ساختار.

۱- مقدمه

شیشه‌های با یو اکتیو موادی زیست سازگار هستند که به هنگام قرار گرفتن در بدن، طی واکنش‌های سطحی با محیط فیزیولوژیک، با بافت بدن پیوند مناسبی برقرار می‌کنند [۱]. شیشه‌های زیست فعال را می‌توان جهت ترمیم و دوباره سازی بافت‌های آسیب دیده به خصوص بافت‌های سخت استفاده کرد [۲]. فرآوری شیشه‌های با یو اکتیو از دو طریق ممکن است: روش ذوب و روش سل-ژل. شیشه‌های تهیه شده به روش سل-ژل از اوائل دهه ۱۹۹۰، به واسطه‌ی تحقیقات لی و همکارانش پا به عرصه‌ی ظهور نهادند [۳و۴]. مزیت این



شیشه‌ها در امکان کنترل بهتر ترکیب و سطح ویژه‌ی بالاتر آن‌ها نسبت به شیشه‌های ذوبی است که این امر منجر به زیست فعالی بیشتر این شیشه‌ها نسبت به شیشه‌های ذوبی می‌شود. در ضمن شیشه‌های تهیه شده با روش سل-ژل امکان تشکیل آپاتیت داخل ماده را فراهم می‌کنند و در نتیجه پس از مدت کوتاهی شیشه قسمت غیر قابل تشخیصی از بافت استخوان می‌شود [۵]. در حالی که در شیشه‌های ذوبی ذرات شیشه همچنان در بافت باقی می‌مانند [۶]. استرانسیم یونی است که باعث افزایش سرعت رشد استخوان و کاهش سرعت پوکی آن می‌شود [۷]. مزایای حضور این یون در فرآیند ساخت استخوان گزارش شده است [۸]. این یون فعالیت سلول‌های استخوانی را افزایش داده و به عنوان محرک رشد سلول‌های بافت استخوان ایفای نقش می‌کند [۹]. در این پژوهش، به ساخت شیشه‌ی حاوی یون استرانسیم از طریق فرآیند سل-ژل و بررسی زیست فعالی و زیست سازگاری آن پرداخته شده است.

۲- فعالیت‌های تجربی

الف- فرآوری و ارزیابی خواص پودر

برای تهیه شیشه با فرمول شیشه با فرمول $70\text{SiO}_2\text{-}25\text{CaO}\text{-}5\text{SrO}$ ، مواد اولیه تترا اتیل اورتو سیلیکات (Merck 800658)، کلسیم نیترات تتراهیدرات (Merck 102123) و استرانسیم نیترات تتراهیدرات (MERCK 107871) در حضور اسید نیتریک ۱ مولار (Merck 101518) به عنوان کاتالیزور مخلوط شدند. سل شفاف سپس برای تبدیل به ژل درون ظرف تفلون ریخته شد. فرآیند ژلاسیون در دمای اتاق ظرف مدت سه روز انجام شد. پس از آن، ژل حاصل به منظور پیرسازی و خشک کردن، به مدت ۷۳ ساعت در دمای 70°C و ۴۸ ساعت در دمای 120°C درون خشک کن نگهداری شد. پس از این مرحله ژل خشک شده برای تعیین دمای مناسب پایدارسازی پودر تحت آزمون حرارتی همزمان (STA) به وسیله‌ی دستگاه 1640 PL.STA با سرعت گرمایش $10^\circ\text{C}/\text{min}$ قرار گرفت. با توجه به نتایج آزمون حرارتی همزمان، پودر برای پایدار سازی به مدت ۴ ساعت در دمای 70°C نگهداری شد. سپس نمونه‌ی شیشه‌ی به دست آمده خرد شد و از الک ۱۴۰ میکرومتر عبور داده شد. پودر بدست آمده برای بررسی‌های فازی توسط پراش پرتو ایکس در بازه‌ی $2\theta=10\text{--}80^\circ$ به وسیله‌ی دستگاه Philips PW3710 مورد آزمایش قرار گرفت.

ب- ارزیابی زیست فعالی پودر شیشه (آزمایش‌های *in vitro*)

برای بررسی‌های زیست فعالی، ابتدا محلول شبیه سازی شده به مایعات بدن (SBF) ساخته شد. محلول SBF مورد استفاده در این پژوهش، محلول معرفی شده توسط کوکوبو [۱۳] بود که ترکیب شیمیایی این محلول در جدول شماره ۱ آورده شده است پودر شیشه به شکل قرص‌هایی (با قطر 10 mm و ضخامت 2 mm) و با وزن‌های یکسان، با نیروی 20 kg بار پرس شد. هر قرص درون 50cc محلول SBF غوطه‌ور شده و برای زمان‌های $1, 3, 7, 14, 21$ و 31 روز درون اینکوباتور با دمای 37°C نگهداری شد. پس از این زمان‌ها، نمونه‌ها از محلول خارج شده، توسط آب قطر شستشو داده شده و در دمای محیط خشک شدند. نمونه‌های خشک شده برای بررسی‌های فازی توسط پراش پرتو ایکس در $2\theta=20\text{--}40^\circ$ به وسیله‌ی دستگاه Philips PW3710 و نیز برای تشخیص گروه‌های شیمیایی توسط عبور نور مادون فرمز به وسیله‌ی دستگاه Perkin Elmer Spectrum 400 مورد بررسی قرار گرفتند. همچنین مقدار مشخصی از محلول SBF در زمان‌های معینی برداشت شده و میزان رهایش یون‌های شیشه با آزمون ICP توسط دستگاه ARL 3410 اندازه‌گیری شد. در ادامه همین نمونه‌ها برای مشاهده‌ی فاز رسوب کرده بر روی سطح شیشه، توسط میکروسکوپ الکترون روبشی Stere Scan S360 Cambridge مورد بررسی قرار گرفتند.

پ- بررسی ویژگی‌های بیولوژیکی شیشه

برای بررسی ویژگی‌های بیولوژیکی شیشه، سلول‌های استخوانی از فک نوزاد موش استخراج شده و در محیط DMEM حاوی 15% سرم جنین گاوی، پنی سیلین با غلظت 100% در اینکوباتور با اتمسفر 95% هوا و 5% دی



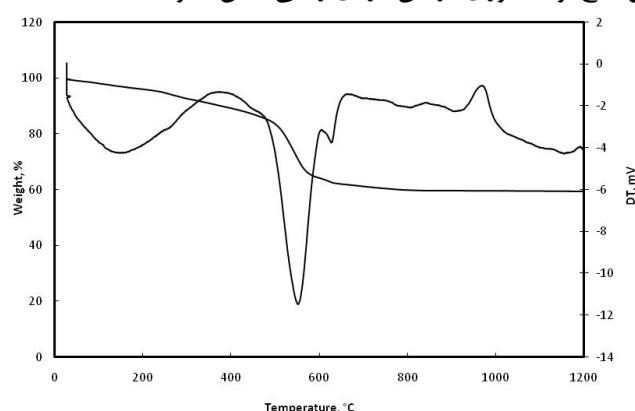
اکسید کربن به مدت یک هفته پاساز داده شدند. برای بررسی تکثیر سلولی از روش MTT استفاده شد. به این ترتیب که قرص‌های شیشه با استفاده از ۷۰٪ اتانول استریلیزه شده و سلول‌های استخوانی بر روی سطح شیشه‌ها با غلظت 10^4 سطح/سلول کشت داده شدند. مجموعه‌ی نمونه‌سلول درون ظرف کشت ۲۴ خانه‌ی قرار داده شد و برای ۳ ساعت درون اینکوباتور قرار داده شد تا سلول‌ها به نمونه‌ها بچسبند و ۳۰ میلی لیتر دیگر محیط کشت به هر خانه اضافه شد. آنگاه مجموعه‌ی نمونه‌سلول در یک اینکوباتور 37°C با رطوبت ۱۰۰٪ و اتمسفر ۹۵٪-۵٪ دی اکسید کربن برای فاصله‌های زمانی ۱، ۷ و ۱۴ روز قرار داده شد. در این مدت محیط هر سه روز یکبار تعویض شد. MTT توسط سلول‌های فعال جذب شده و باعث رسوب فورمازن توسط سلول‌ها می‌شود. کریستال‌های فورمازن با محلول دی متیل سولفوکساید شستشو داده شده و دانسیتی‌ی نوری محلول توسط اسپکتروفوتومتر Bio-Tex در طول موج ۵۷۰ نانومتر اندازه‌گیری شدند و سپس با استفاده از منحنی کالیبراسیون با تعداد سلول‌های مشخص، تعداد سلول‌ها روی سطح نمونه اندازه‌گیری گردید. همچنین مورفولوژی سلول‌ها روی سطح نمونه پس از ۷ روز قرار گیری در محیط کشت با میکروسکوپ الکترون روبشی مورد بررسی قرار گرفت. نحوه ثبت سلول‌ها روی سطح، طبق آنچه در مرجع اشاره شده است می‌باشد [۱۴].

جدول ۱- مواد مورد استفاده برای ساخت یک لیتر SBF [۱۳]

کد مرک	ماده	(g)
6404	NaCl	7.996
6323	NaHCO ₃	0.350
4935	KCl	0.224
5101	K ₂ HPO ₄ .3H ₂ O	0.228
5833	MgCl ₂ .6H ₂ O	0.305
314	1M-HCl	40 ml
2389	CaCl ₂	0.278
	Na ₂ SO ₄	0.071
8382	(CH ₂ OH) ₃ CNH ₂	6.057

۳- نتایج و بحث

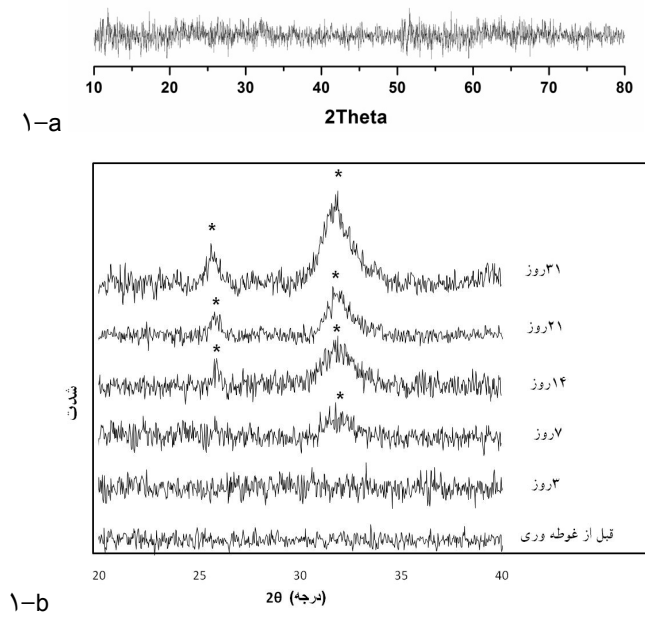
نتیجه آزمون حرارتی STA در نمودار شماره ۱ آورده شده است. در این طیف، پیک گرمایشی در منحنی DTA در بازه‌ی دمای 400°C تا حدود 650°C مشاهده می‌شود که همزمان با افت وزن در نمودار TG است. این پیک مربوط به خروج نیترات‌ها و مواد فرار دیگر از ژل است. همچنین دو پیک گرمایشی ایجاد شده در محدوده‌ی دمایی $1000-900^\circ\text{C}$ در منحنی DTA که بدون کاهش وزن مشاهده می‌شوند مربوط به تبلور فاز وولاستونیت [۱۴] در شیشه هستند. با استفاده از اطلاعات این نمودار دمای 700°C به عنوان دمای مناسب برای پایدارسازی ژل شیشه انتخاب شد. زیرا در دماهای کمتر از این دما مواد فرار به طور کامل از نمونه خارج شده و در ضمن هیچ‌گونه تبلوری در این بازه‌ی زمانی اتفاق نخواهد افتاد.



شکل ۱- نتیجه‌ی آزمون حرارتی هزمان (STA) پودر پس از فرآوری



نمودار شماره ۲ الگوی پراش پرتوی ایکس (XRD) نمونه‌ها را قبل و بعد از غوطه‌وری نشان می‌دهد. در این نمودار، قسمت a مربوط به پودر پس از عملیات پایدارسازی است که در فاصله‌ی ۲θ بین 10° تا 80° تهیه شده است. این طیف گواه این مطلب است که محصول فرآوری یک ماده‌ی بی‌شکل است. قسمت b در همین نمودار، الگوی پراش پرتوی ایکس در فاصله‌ی ۲θ بین 20° تا 40° شیشه پس از فرآوری و نمونه‌های خارج شده از SBF بعد از فاصله‌های زمانی مختلف جهت مقایسه آورده شده است. همانطور که در این نمودار دیده می‌شود قبل از غوطه‌وری درون محلول SBF الگوی پراش پرتوی ایکس تنها یک ماده‌ی بی‌شکل را نشان می‌دهد. پس از گذشت سه روز از قرار گرفتن نمونه‌ها درون SBF هنوز تغییری در الگوی پراش پرتوی ایکس مشاهده نمی‌شود. با گذشت هفت روز، تغییر کوچکی در الگوی پراش پرتوی ایکس ایجاد شده و برآمدگی کوچکی در حوالی 32° مشاهده شد. با افزایش زمان غوطه‌وری تا چهارده روز دو تغییر در الگوی پراش پرتوی ایکس به وجود آمد: پیک کوچک در 32° شدت بیشتری یافته و به شکل یک پیک نسبتاً پهن نمایان شد که مربوط به تبلور صفحه‌ی اتمی (۱۱۱) فاز آپاتیت با بلورینگی کم روی سطح شیشه بود و یک پیک جدید در 26° ظاهر شد که مربوط به تبلور صفحه‌ی اتمی (۰۰۲) فاز آپاتیت بود. با افزایش زمان قرار گیری نمونه تا روز بیست و یکم و سی و یکم، دیده شد که شدت پیک پهن در 26° و 32° افزایش یافته که این افزایش نشان‌دهنده‌ی تبلور مقدار بیشتر فاز آپاتیت به ازای افزایش زمان قرار گیری نمونه‌ها درون SBF است.



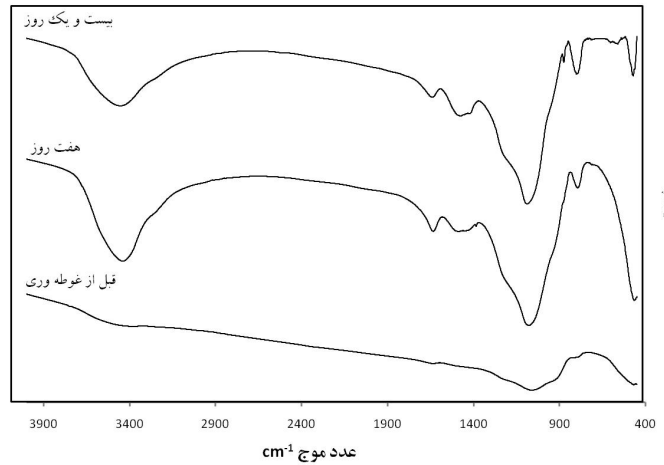
شکل ۲- الگوی پراش پرتو ایکس (a) پودر حاصل از فرآوری و (b) پودر بعد از زمان‌های سه، هفت، چهارده، بیست و یک و سی و یک روز غوطه‌وری درون محلول SBF

نتایج آزمون طیف سنجی پرتوی مادون قرمز در نمودار شماره ۳ آورده شده است. در این نمودار الگو جذب پرتوی مادون قرمز برای نمونه‌های شیشه قبل و بعد از غوطه‌وری درون SBF آورده شده است. در الگوی مربوط به تمام نمونه‌ها، پیک موجود در عدد موج $460-470\text{ cm}^{-1}$ مربوط به مد خمی پیوند Si-O-Si شیشه است. در الگوی مربوط به نمونه‌ی شیشه قبل از غوطه‌وری، پیک ضعیفی به چشم می‌خورد که در عدد موج حدود 1070 cm^{-1} قرار دارد. این پیک مربوط به جذب پرنوی مادون قرمز توسط پیوند Si-O-Si است. در الگوی نمونه‌های مربوط به بعد از انجام غوطه‌وری، پیک موجود در 1070 cm^{-1} شدیدتر می‌شود. دلیل این افزایش، آشکار شدن پیک جذب مدارتعاشی پیوند در شبکیه‌ی P-O است که با پیک مربوط به Si-O-Si همپوشانی می‌کند. در الگوی مربوط به تمام نمونه‌ها بعد از غوطه‌وری، پیک موجود در عدد موج حدود 3450 cm^{-1} مربوط به پیوند O-H است. در روز هفتم غوطه‌وری، یک پیک دیگر در عدد موج حدود



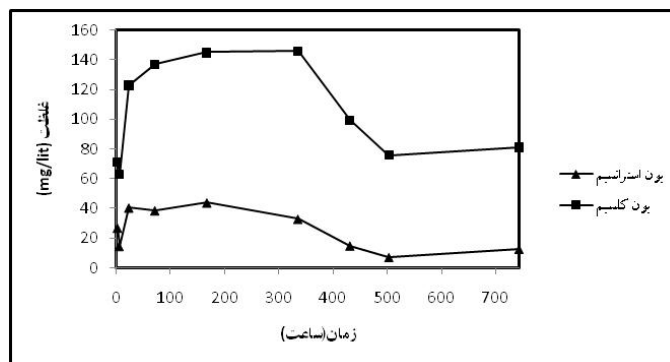


۱۴۸۲ cm^{-1} آشکار می‌شود که مربوط به حضور گروههای C-O در شبکه‌ی آپاتیت است. آشکار شدن این گروهها نشان از کربناتی بودن فاز آپاتیت ایجاد شده بر روی سطح دارند. با افزایش زمان قرار گیری نمونه‌ها در محلول SBF دو پیک دیگر مربوط به گروههای C-O در عدد موج‌های ۸۷۰ cm^{-1} و ۱۴۲۲ cm^{-1} و ۱۴۸۲ cm^{-1} آشکار می‌شود و می‌تواند نشان دهنده‌ی تشکیل مقدار بیشتر فاز آپاتیت کربناتی تشکیل شده روی سطح شیشه باشد.



شکل ۳- الگوی جذب پرتوی مادون قرمز قبل و بعد از غوطه‌وری در SBF

نتایج آزمون عنصری ICP در نمودار شماره ۴ آورده شده است. این آزمایش به منظور بررسی میزان رهایش یون‌ها بر روی محلول SBF برداشت شده از محلولی که نمونه‌های شیشه درون آن قرار داشتند انجام شد. تیلور هیدروکسی آپاتیت بر روی سطح شیشه‌ها و شیشه-سرامیک‌های زیست فعال در محلول SBF توسط کوکوبو[۱۳] به این صورت شرح داده شده است: یون کلسیم از سطح شیشه و شیشه-سرامیک حل شده و فعالیت یونی برای تشکیل آپاتیت در محلول اطراف را افزایش می‌دهد و در عین حال شبکه‌ی سیلیس در سطح تبدیل به سیلیس هیدراته شده که مکان‌های مناسبی برای جوانه‌زنی هیدروکسی آپاتیت فراهم می‌کند. سپس جوانه‌های هیدروکسی آپاتیت بر روی سطح رشد می‌کنند.

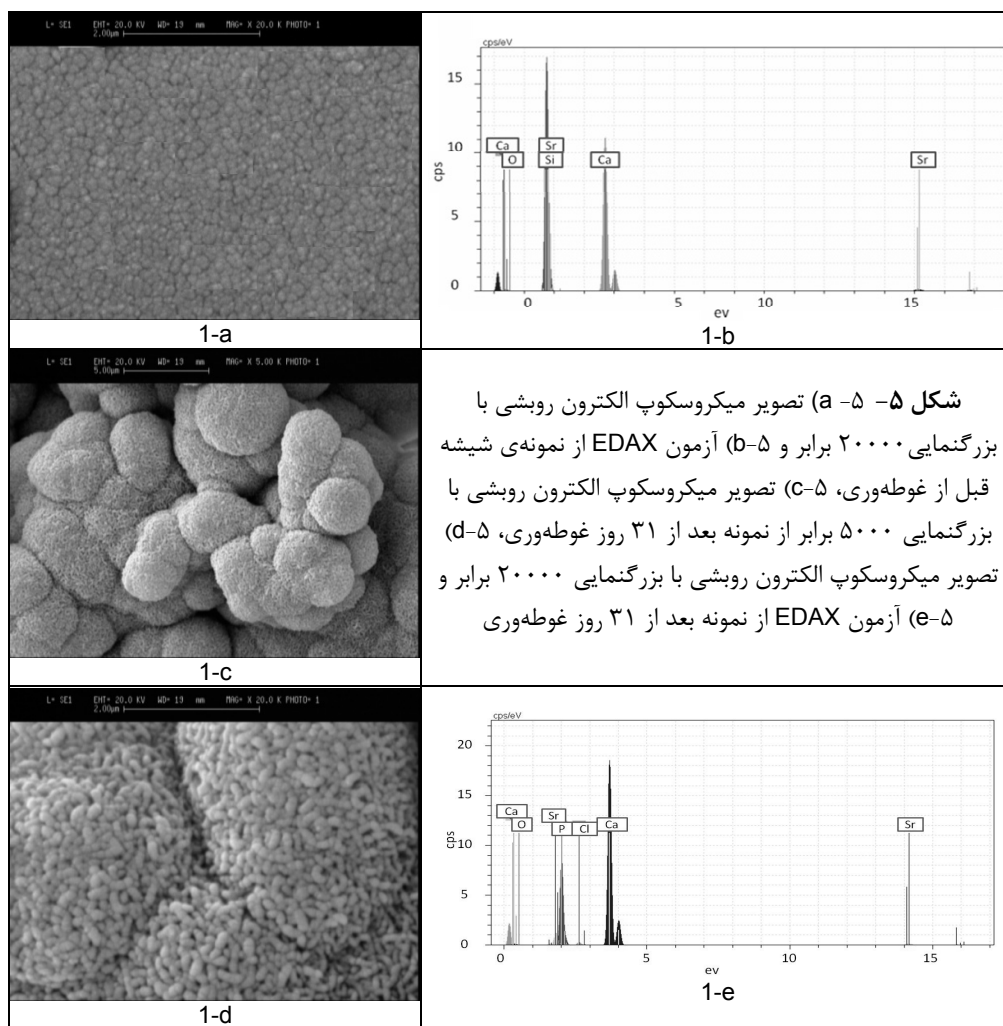


شکل ۴- غلظت یون‌های کلسیم و استرانسیم درون محلول SBF

در این نمودار غلظت یون‌های استرانسیم و کلسیم رها شده در محلول SBF بر حسب زمان رسم شده است. در ابتدا رهایش سریع یون کلسیم تا ۲۴ ساعت اول مشاهده می‌شود. پس از آن رهایش یون کلسیم تا روز چهاردهم غوطه‌وری ادامه دارد اما رهایش با نرخ کمتری صورت می‌گیرد. این مطلب به دلیل تشکیل رسوب آپاتیت بر روی سطح شیشه است. در واقع در کنار پدیده‌ی انحلال، تراسب فاز آپاتیت باعث می‌شود که یون کلسیم موجود در SBF مصرف شده و غلظت این یون با سرعت کمتری افزایش پیدا کند. با این حال تا این زمان، هنوز انحلال شیشه پدیده‌ی پیروز است. از روز چهاردهم تا پایان دوره، غلظت یون کلسیم کاهش می‌یابد. دلیل این مطلب افزایش رسوب فاز آپاتیت بر روی سطح شیشه است. این موضوع باعث می‌شود

مقدار بیشتری از کلسیم محلول مصرف شود. از سوی دیگر این لایه در مقابل انحلال بیشتر یون‌های شیشه مقاومت می‌کند. این نتیجه با توضیح کوکوبو که در فوق بدن اشاره شده است مطابقت دارد. غلظت یون‌های استرانسیم نیز تا ۱۴ روز افزایش و پس از آن کاهش می‌یابد. افزایش اول به دلیل انحلال این یون از شیشه‌ی زیست فعال استکه برای کمک به رشد سلول‌های استخوانی در درمان جراحات بافت سخت بسیار مفید است. کاهش غلظت، به دلیل ممانعت لایه‌ی آپاتیت تشکیل شده از انحلال این یون است.

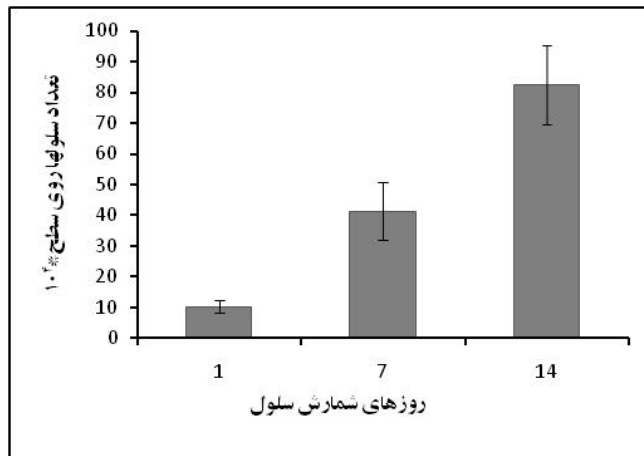
عکس‌های الکترون ثانویه‌ی میکروسکوپ الکترونی روشی قرص‌های شیشه قبیل و بعد از غوطه‌وری درون محلول مشابه محلول بدن به همراه آزمون EDAX همین نمونه‌ها در شکل شماره ۵ آورده شده است. شکل ۵-a تصویر قرص شیشه قبیل از غوطه‌وری درون محلول مشابه بدن و شکل‌های ۵-C و ۵-e تصاویر قرص شیشه بعد از ۳۱ روز غوطه‌وری را با دو بزرگنمایی متفاوت نشان می‌دهد. همچنین قسمت‌های ۵-b و ۵-d نشان دهنده‌ی آنالیز EDAX از نمونه‌های قبیل و بعد از ۳۱ روز غوطه‌وری درون محلول SBF است. در تصویر ۵-a ذرات شیشه دیده می‌شوند که به وسیله‌ی نیروی پرس در کنار هم قرار گرفته‌اند. پس از ۲۱ روز، تصویر SEM فاز بلورین با مورفولوژی کروی را بر روی سطح شیشه نشان می‌دهد. در کنار همین عکس نتیجه‌ی آزمون EDAX نیز آورده شده است. در الگوی مربوط به قبیل از گذشت ۳۱ روز غوطه‌وری درون محلول SBF الگوی بوده و یون‌های کلسیم نیز مشاهده می‌شوند. بعد از گذشت ۳۱ روز غوطه‌وری درون محلول SBF ترکیب عنصری بسیار متفاوتی را نشان می‌دهد به طوری که بیشترین غلظت مربوط به کلسیم و EDAX سپس فسفر است. این نتیجه، تشکیل فاز آپاتیت با مورفولوژی کروی شکل بر روی سطح شیشه را تأیید می‌کند. همچنین دیده می‌شود که قطر کره‌های آپاتیت کمتر از ۱۰۰ نانومتر است.



شکل ۵ - a) تصویر میکروسکوپ الکترون روشی با بزرگنمایی ۲۰۰۰۰ برابر و b-۵) آزمون EDAX از نمونه‌ی شیشه قبل از غوطه‌وری، c-۵) تصویر میکروسکوپ الکترون روشی با بزرگنمایی ۵۰۰۰ برابر از نمونه بعد از ۳۱ روز غوطه‌وری، d-۵) تصویر میکروسکوپ الکترون روشی با بزرگنمایی ۲۰۰۰۰ برابر و e-۵) آزمون EDAX از نمونه بعد از ۳۱ روز غوطه‌وری

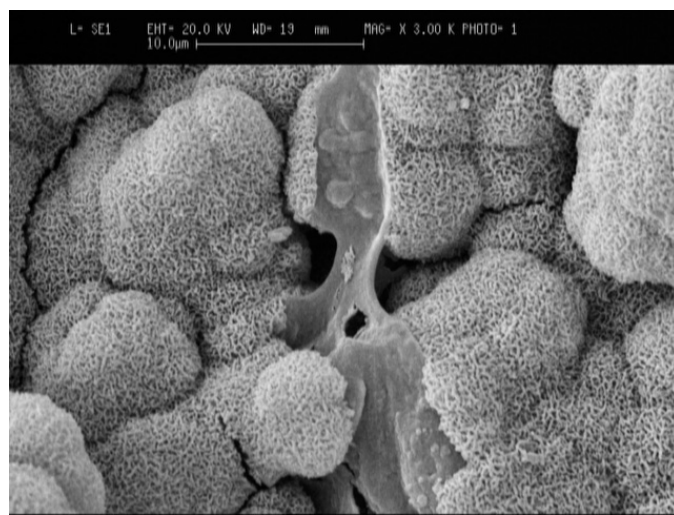


نمودار شماره ۶ نشان دهندهٔ تعداد سلول‌های شمارش شده بر روی سطح بعد از ۱، ۷ و ۱۴ روز است. ملاحظه می‌شود که با گذشت زمان تعداد سلول‌ها روی سطح افزایش می‌یابد به طوری که در پایان روز چهاردهم این مقدار به $82/5 \times 10^3$ سلول روی سطح نمونه می‌رسد. این مطلب حاکی از مناسب بودن نمونه‌ها از لحاظ سطحی (توپوگرافی سطح برای چسبندگی سلول) و ترکیبی (عدم سمیت) برای رشد سلول‌ها است.



شکل ۶- غلظت یون‌های کلسیم و استرانسیم درون محلول SBF

شکل ۷ تصویر SEM تهیه شده از نمونهٔ تحت کشت بعد از ۷ روز را نشان می‌دهد. در این تصویر مورفولوژی سلول‌های استخوانی روی سطح نمونه دیده می‌شود. سلول‌ها با یک غشاء پهنه شده که با کریستال‌های سوزنی شکل سطح پیوند برقرار کرده‌اند، دیده می‌شوند. به نظر می‌رسد چسبندگی سلول به خاطر مورفولوژی خشن سطح و در گیر شدن‌انددهای سلول روی آن‌ها باشد و حالت پهنه شدگی سلول حاکی از تمایل آن به سطح است که نشان دهندهٔ زیست سازگاری نمونه‌ها می‌باشد.



شکل ۷- تصویر میکروسکوپ الکترون روبشی با بزرگنمایی ۳۰۰۰ برابر از سطح نمونهٔ حاوی سلول بعد از ۷ روز

۴- نتیجه‌گیری

شیشه در سیستم $\text{SiO}_2\text{-CaO-SrO}$ فرآوری شده با روش سل-ژل زیست فعال بوده و با قرار گیری درون محلول مشابه بدن، بر روی سطح آن فاز آپاتیت تشکیل می‌شود. مقدار فاز آپاتیت تشکیل شده که از نوع کربناتی است، با افزایش زمان غوطه‌وری این شیشه‌ها، افزایش پیدا می‌کند آپاتیت تشکیل شده روی سطح شیشه دارای بلورهای کروی شکل با قطر کمتر از ۱۰۰ نانومتر است. از سوی دیگر این شیشه‌ها زیست

سازگار بوده توانایی رشد و تکثیر سلول بر روی سطح خود را دارند. این بدان معنی است که شبیه‌سی فرآوری شده هم امکان برقراری پیوند با بافت استخوان (از طریق تشکیل آپاتیت بر روی سطحش) و هم توانایی رشد سلول‌های استخوانی را دارد که در پروسه‌ی بازسازی استخوان مؤثر است.

مراجع

1. Hench LL, Splinter, RJ, Allen WC, Greenlee TK. "Bonding mechanisms at the interface of ceramic prosthetic materials." *J. Biomed. Mater. Res. Symp.* 1998; 2 (Part I): 117–141.
2. Marta Giulia Cerruti, "Characterization of bioactive glasses. Effect of the immersion in solutions that simulate body fluids." Ph.D. dissertation, university of Turin, 2004.
3. Li R. "Sol-gel processing of bioactive glass powders." Ph.D. dissertation, University of Florida, 1991.
4. Li R, Clark AE, Hench LL. "An investigation of bioactive glass powders by sol-gel processing." *J Appl Biomater* 1991;2:231–9.
5. Hench LL. Biomaterials: a forecast for the future. *Biomaterials* 1998; 19: 1419-1423. *J. Radioanal. Nucl. Chem.* 262 (2) (2004) 479.
6. Oonishi H, Kutrshitani S, Yasukawa E, Iwaki H, Hench LL, Wilson J, Tsuji E, Sugihara T. "Particulate bioglass and hydroxyapatite as a bone graft substitute." *J Clin Orthop Related Res.* 1997; 334: 316-325.
7. Wheeler DL, Stokes KE. In vivo evaluation of sol-gel Bioglass®. Part I: histological findings. *Trans 23rd Annual Meeting of the Soc Biomater*, New Orleans, LA, 1997.
8. E. Canalis, M. Hott, P. Deloffre, Y. Tsouderos, P.J. Marie, "The divalent strontium salt S12911 enhances bone cell replication and bone formation in vitro." *J. Bone* 18(1996)517.
9. J. Buehler, P. Chappuis, J. L. Saffar, Y. Tsouderos, A. Vignery, "Strontium ranelate inhibits bone resorption while maintaining bone formation in alveolar bone in monkeys." *Bone* 29(2001)176.
10. M. Hott, P. Deloffre, Y. Tsouderos, P.J. Marie, "S12911-2 reduces bone loss induced by short-term immobilization in rats." *Bone* 33(2003)112.
11. P. J. Meunier, C. Roux, E. Seeman, S. Ortolani, J. E. Badurski, T. D. Spector, J. Cannata, A. Balogh, E. M. Lemmel, S. Pors-Nielsen, R. Rizzoli, H. K. Genant, J. Y. Reginster, "The effects of strontium ranelate on the risk of vertebral fracture in women with postmenopausal osteoporosis." *N. Engl. J. Med.* 350(2004) 350.
12. E. Seeman, J. P. Devogelaer, R. Lorenc, T. Spector, K. Brixen, A. Balogh, G. Stucki, J. Y. Reginster, "Strontium ranelate reduces the risk of vertebral fractures in patients with osteopenia." *J. Bone Miner. Res.* 23(2008)433.
13. T. Kokubo, H. Kshitani, S. Sakka and T. Yamanuro, "Solution able to reproduce in vivo surface-structure changes in bioactive glass-ceramic A-W", *J. Biomed. Mater. Res.* 24, 721-734 (1990).
14. H. M. Elgendi, M. E. Norman, A. R. Keaton, C. T. Laurencin, "Osteo-like cell (MC3T3-E1) proliferation on biodegradable polymers: an approach towards the development of a bone-bioerodible polymer composite material. *J. Biomaterials.* 14(1993)263.
15. S. Hesaraki, M. Golami, S. Vazehrad, S. Shahrabi, "The effect of Sr concentration on bioactivity and biocompatibility of sol-gel derived glasses based on CaO-SrO-SiO₂-P₂O₅ quaternary system", *J. Material Science and Engineering C*, 30 (2010) 383–390.

